

## AIRE, PÉRIMÈTRE ET POLYGONES COCYCLIQUES

JC LEGER

## TABLE DES MATIÈRES

1. Introduction	2
2. Définitions, notations et énoncé	2
2.1. Indexation	2
2.2. Variétés de polygones	4
2.3. L'aire orientée	7
3. Un peu d'algèbre linéaire et bilinéaire	9
3.1. Produit scalaire, produit hermitien	9
3.2. Quelques applications linéaires	10
3.3. L'opérateur de dérivation $D$ , l'opérateur de milieu $M$	10
3.4. L'opérateur d'intégration $I$ , l'opérateur $K$ , intégration par parties	11
3.5. Quelques résolutions de systèmes linéaires.	11
3.6. Définition de $J_\alpha$ .	12
4. Une représentation paramétrique de l'espace tangent $\mathcal{T}_z$	13
5. Preuve du théorème	14
6. Multiplicateurs de LAGRANGE	16
6.1. Leur valeur	16
6.2. Points critiques avec un côté libre	17
6.3. Points critiques à périmètre imposé et variantes	18
7. Montée de gradient	19
7.1. Gradient de l'aire	19
7.2. Formules explicites pour $I$ et $K$	20
7.3. Numerics	21
8. Indices et dénombrement	22
8.1. Indices	22
8.2. Dénombrement	23
9. Complément : Sous-variétés algébriques, calcul différentiel réel dans $\mathbb{C}^S$	25
10. Quelques preuves de lemmes	27
10.1. Démonstration du lemme 2.	27
10.2. Démonstration du lemme 3.	29
10.3. Démonstration du lemme 4.	30
Références	31

## 1. INTRODUCTION

Dans son traité de géométrie, [Leg41], Proposition VII, p.134, LEGENDRE popularise le fameux théorème isopérimétrique sur les polygones plans :

**Théorème 1.** *Soit  $N \geq 4$  un entier naturel et  $\ell$  un nombre réel positif. Parmi les polygones à  $N$  cotés de périmètre  $\ell$ , le polygone d'aire maximale est le polygone régulier à  $N$  cotés de périmètre  $\ell$ .*

Ce résultat est probablement du à L'HUIPLIER— il est présent (p.107, paragraphe 13) dans [L'H89], et semble dater de 1782— dont la démonstration est reprise *verbatim* par LEGENDRE. Cette démonstration est basée sur un résultat plus méconnu<sup>1</sup> :

**Théorème 2.** *Soit  $N \geq 4$  un entier naturel et un  $N$ -uplet  $\ell_1, \dots, \ell_N$  de réels strictement positifs. Parmi les polygones à  $N$  cotés de longueurs respectives  $\ell_1, \dots, \ell_N$ , une polygone d'aire maximale est cocyclique, *i.e.* inscrit dans un cercle.*

L'objet du présent article est de présenter une démonstration d'un résultat<sup>2</sup> dans cette lignée, comparativement beaucoup plus récent, du à KHIMSHIAVILI et PANINA, [KP08], que l'on peut énoncer de façon informelle :

*Sur l'espace des polygones à  $N$  cotés dont les longueurs sont imposées, les points critiques de l'aire orientée sont les polygones cocycliques.*

Avant de démontrer cet énoncé, une étape fondamentale est de préciser son sens exact. Cela est fait dans le paragraphe 2. La preuve sera ensuite développée dans les paragraphes 3, 4 et 5, le paragraphe 10 détaillant quelques démonstrations de lemmes techniques dont le développement immédiat aurait nui à la fluidité du discours. Le paragraphe 9 apporte, quant à lui, quelques précisions concernant les éléments de géométrie différentielle nécessaires aux calculs.

Nous donnerons aussi des variantes liées à d'autres contraintes dans le paragraphe 6, quelques illustrations numériques dans le paragraphe 7 et concluerons, dans le paragraphe 8, par des ouvertures possibles concernant les liens entre ces calculs, le dénombrement de configurations cocycliques, la recherche effective de polynômes de HERON—ROBBINS, liant aire et longueur des côtés d'un polygone cocyclique, et la topologie de certains espaces des polygones.

## 2. DÉFINITIONS, NOTATIONS ET ÉNONCÉ

Fixons un entier  $N \geq 4$ . Nous identifions une fois pour toute  $\mathbb{C}$ , le corps des nombres complexes, avec le plan euclidien orienté, de la manière usuelle.

Pour un nombre complexe  $z \in \mathbb{C}$ , on note  $\operatorname{Re}(z)$ , resp  $\operatorname{Im}(z)$ , sa partie réelle, resp. sa partie imaginaire.

On note  $\mathbb{S}^1$  le cercle unité du plan, *i.e.* le groupe des nombres complexes de module 1.

Ce groupe agit sur  $\mathbb{C}$  par multiplication. Cette action est celle du groupe  $SO_2$  des rotations vectorielles du plan euclidien orienté.

**2.1. Indexation.** Si  $A_0, \dots, A_{N-1}$  sont  $N$  points du plan, le polygone planaire orienté  $(A_0, \dots, A_{N-1})$  est la suite de ces points, placés dans cet ordre de sorte que

1. [L'H89], p.107, paragraphe 13, [Leg41], Proposition VI, p.133, il est à noter que ce théorème disparaît dès l'édition suivante, [Leg49], alors que LEGENDRE est mort en 1833

2. L'énoncé précis est le Théorème 3, il s'agit d'une démonstration inédite.

l'on puisse considérer les *côtés* de ce polygone,  $A_0 \rightarrow A_1, A_1 \rightarrow A_2, \dots, A_{N-2} \rightarrow A_{N-1}$ , sans oublier  $A_{N-1} \rightarrow A_0$ .

L'indexation des points d'un polygone orienté possède donc intrinsèquement un caractère cyclique. L'indexation de ses côtés aussi.

Pour tout ce qui concerne les développements théoriques, nous adoptons donc une indexation abstraite en considérant  $(S, \Sigma)$  le graphe cyclique orienté sur  $N$  sommets.

Du point de vue de l'implémentation des codes de calcul dans le paragraphe 7.3, on peut choisir une réalisation très concrète de l'ensemble des sommets de ce graphe

$$S = \{0, \dots, N-1\}$$

Le groupe  $\mathbb{Z}/N\mathbb{Z}$  agit naturellement sur le graphe  $(S, \Sigma)$ , l'action de 1 se traduisant par le décalage de chaque sommet vers le sommet suivant  $n \mapsto n+1$ , avec comme convention, pour la réalisation concrète

$$0+1=1, 1+1=2 \dots, (N-2)+1=(N-1), (N-1)+1=0$$

Si  $n \in S$ ,  $n-1$  est donc le sommet précédant  $n$  dans  $S$ .

Convenons de noter, pour un sommet  $n$  de  $S$ ,  $n + \frac{1}{2}$  l'arête suivant le sommet  $n$  et  $n - \frac{1}{2}$ , l'arête précédant  $n$ , *i.e.*

$$n + \frac{1}{2} := (n, n+1) \text{ et } n - \frac{1}{2} := (n-1, n)$$

Pour la réalisation concrète de  $S$ , l'ensemble des arêtes se réécrit donc

$$\Sigma = \{0 + \frac{1}{2}, 1 + \frac{1}{2}, \dots, (N-1) + \frac{1}{2}\} = \{n + \frac{1}{2}, n \in S\}$$

Maintenant, pour une arête  $\nu \in \Sigma$ ,  $\nu = (n, n+1) = n + \frac{1}{2}$ , convenons de noter <sup>3</sup>  $\nu - \frac{1}{2}$  l'extrémité de départ  $n$  de  $\nu$ ,  $\nu + \frac{1}{2}$  l'extrémité d'arrivée  $n+1$  de  $\nu$  et  $\nu + 1 = (n+1, n+2)$  l'arête suivant  $\nu$ , on définit ainsi une action de  $\mathbb{Z}/N\mathbb{Z}$  sur  $\Sigma$  et on a, par simple jeu d'écritures,

$$\forall n \in S, (n - \frac{1}{2}) - \frac{1}{2} = n - 1, (n - \frac{1}{2}) + \frac{1}{2} = n = (n + \frac{1}{2}) - \frac{1}{2}, (n + \frac{1}{2}) + \frac{1}{2} = n + 1$$

et

$$\forall \nu \in \Sigma, (\nu - \frac{1}{2}) - \frac{1}{2} = \nu - 1, (\nu - \frac{1}{2}) + \frac{1}{2} = \nu = (\nu + \frac{1}{2}) - \frac{1}{2}, (\nu + \frac{1}{2}) + \frac{1}{2} = \nu + 1$$

Si on utilise les règles de calcul dans  $\mathbb{R}$  modulo  $N\mathbb{Z}$ , on peut naturellement aussi identifier  $S$ , resp.  $\Sigma$ , avec  $\mathbb{Z}/N\mathbb{Z}$ , resp.  $\mathbb{Z}/N\mathbb{Z} + \frac{1}{2} \subset \mathbb{R}/N\mathbb{Z}$ , ce qui permet de d'identifier  $n + \frac{1}{2}$  avec  $n + \frac{1}{2}$ ,  $\nu - \frac{1}{2}$  avec  $\nu - \frac{1}{2}$ , etc...

Du point de vue de la notation, les éléments de  $S$  et de  $\mathbb{C}^S$  seront désignés, autant que possible, par des lettres latines, ceux de  $\Sigma$  et de  $\mathbb{C}^\Sigma$  par des lettres grecques.

**Définition 1.** *Un  $N$ -gone orienté planaire est une suite de  $N$  nombres complexes indexée par  $S$ . C'est un  $S$ -uplet, un élément de  $\mathbb{C}^S$ .*

Nous noterons de façon générique un tel polygone  $z = (z_n)_{n \in S}$ . Le  $\Sigma$ -uplet des cotés de ce polygone est la suite de  $N$  nombres complexes indexée par  $\Sigma$ , l'ensemble des arêtes du graphe,  $(\zeta_\nu)_{\nu \in \Sigma}$  avec  $\zeta_\nu = z_{\nu+\frac{1}{2}} - z_{\nu-\frac{1}{2}}$ .

On note  $D$  l'application linéaire qui, à un polygone, associe le  $\Sigma$ -uplet de ses cotés.

$$(1) \quad \begin{array}{ccc} D : & \mathbb{C}^S & \rightarrow \mathbb{C}^\Sigma \\ & z = (z_n)_{n \in S} & \mapsto \zeta = Dz = (z_{\nu+\frac{1}{2}} - z_{\nu-\frac{1}{2}})_{\nu \in \Sigma} \end{array}$$

3. de sorte que  $\nu = (\nu - \frac{1}{2}, \nu + \frac{1}{2})$

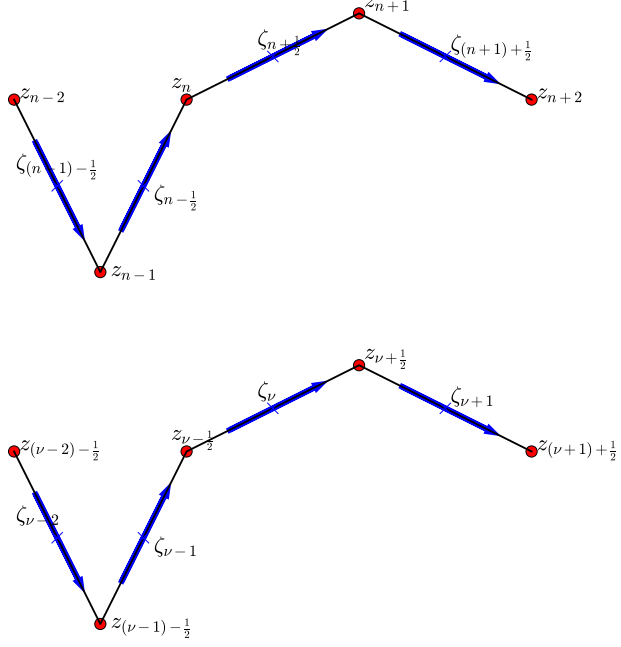


FIGURE 1. Indexations

Bien que l'application  $D$  ne soit pas bijective, on peut y remédier en posant

$$\mathbb{C}_0^S = \{z \in \mathbb{C}^S, \sum_n z_n = 0\} \text{ et } \mathbb{C}_0^\Sigma = \{\zeta \in \mathbb{C}^\Sigma, \sum_\nu \zeta_\nu = 0\},$$

si bien que, par restriction,  $D : \mathbb{C}_0^S \rightarrow \mathbb{C}_0^\Sigma$  est un isomorphisme.

## 2.2. Variétés de polygones.

2.2.1. *Des équations cartésiennes...* Etant donné un  $\Sigma$ -uplet,  $\ell = (\ell_\nu)_{\nu \in \Sigma}$ , de nombres réels positifs, on considère l'ensemble  $\mathcal{P}(\ell)$  des polygones dont les cotés ont pour longueurs  $\ell$ , *i.e.*

$$\begin{aligned} (2) \quad \mathcal{P}(\ell) &= \{z \in \mathbb{C}^S, \forall \nu \in \Sigma, |z_{\nu+\frac{1}{2}} - z_{\nu-\frac{1}{2}}| = \ell_\nu\} \\ &= \{z \in \mathbb{C}^S, \forall \nu \in \Sigma, |(Dz)_\nu| = \ell_\nu\} \end{aligned}$$

Il est bien connu (c'est un exercice<sup>4</sup> basé sur l'inégalité triangulaire) que  $\mathcal{P}(\ell)$  est non vide si et seulement si

$$(3) \quad \forall \nu \in \Sigma, \ell_\nu \leq \frac{1}{2} \sum_{\nu' \in \Sigma} \ell_{\nu'}.$$

Il est par ailleurs bien connu que si l'une des inégalités (3) est une égalité alors l'indice  $\nu_0$  pour lequel ceci se produit est unique et les polygones dans  $\mathcal{P}(\ell)$  sont tous dégénérés, *i.e.*, les points d'un tel polygone sont situés sur le côté  $\nu_0$ , de longueur  $\ell_{\nu_0}$ . Nous excluons ces configurations triviales de nos considérations et supposons donc dorénavant que

$$(4) \quad \forall \nu \in \Sigma, 0 < \ell_\nu < \frac{1}{2} \sum_{\mu \in \Sigma} \ell_\mu.$$

Un tel vecteur  $\ell$  sera appelé un *vecteur de longueurs admissible*.

Evidemment, ce qui nous intéresse vraiment, ce sont les polygones à isométrie (directe) près.

Une première normalisation pratique, qui préserve les symétries naturelles entre les indices, consiste à travailler sur l'ensemble des *polygones centrés*

$$(5) \quad \mathcal{P}_0(\ell) = \mathcal{P}(\ell) \cap \mathbb{C}_0^S = \{z \in \mathcal{P}(\ell), \sum_{n \in S} z_n = 0\}$$

Comme nous voulons faire du calcul différentiel et étudier les points critiques de la fonction à valeurs réelles « aire orientée » sur l'« espace des polygones à longueurs prescrites », l'idéal est de disposer d'une *sous-variété différentielle* d'un espace vectoriel réel de dimension finie.

Cela sera expliqué plus loin mais nous constatons pour le moment que par définition, les ensembles  $\mathcal{P}(\ell)$  et  $\mathcal{P}_0(\ell)$  sont des *sous-variétés algébriques réelles* d'un espace vectoriel réel de dimension finie,  $\mathbb{C}^S \simeq (\mathbb{R}^2)^S \simeq \mathbb{R}^{2N}$ , *i.e.* le lieu des zéros communs d'une famille de polynômes réels à  $\dim_{\mathbb{R}} \mathbb{C}^S = 2N$  indéterminées.

Pour  $\nu \in \Sigma$ ,  $z \in \mathbb{C}^S$ , posons

$$(6) \quad L_\nu^2(z) = |z_{\nu+\frac{1}{2}} - z_{\nu-\frac{1}{2}}|^2.$$

En exprimant  $L_\nu^2$  en fonction des parties réelles et imaginaires de  $z_{\nu+\frac{1}{2}}$  et  $z_{\nu-\frac{1}{2}}$ , il apparaît clairement que  $L_\nu^2$  est un polynôme quadratique réel sur  $\mathbb{C}^S \simeq (\mathbb{R}^2)^S$ .

On a alors, comme annoncé, que  $\mathcal{P}(\ell)$  et  $\mathcal{P}_0(\ell)$  sont les lieux des zéros communs d'une famille de polynômes réels :

$$\begin{aligned} \mathcal{P}(\ell) &= \{z \in \mathbb{C}^S, \forall \nu \in \Sigma, L_\nu^2(z) = \ell_\nu^2\}, \\ \mathcal{P}_0(\ell) &= \{z \in \mathbb{C}^S, \forall \nu \in \Sigma, L_\nu^2(z) = \ell_\nu^2\} \cap \mathbb{C}_0^S. \end{aligned}$$

Remarquons qu'on utilise le fait que  $\mathbb{C}_0^S$  est lui même une sous-variété de  $\mathbb{C}^S$  avec

$$\mathbb{C}_0^S = \{z \in \mathbb{C}^S, \operatorname{Re}(\sum_n z_n) = 0\} \cap \{z \in \mathbb{C}^S, \operatorname{Im}(\sum_n z_n) = 0\}$$

En  $z \in \mathbb{C}_0^S$ , l'espace tangent à  $\mathbb{C}_0^S$  est  $\mathbb{C}_0^S$ .

Concernant le problème d'extremum qui nous intéresse, l'avantage majeur de  $\mathcal{P}_0(\ell)$  par rapport à  $\mathcal{P}(\ell)$  est sa compacité.

4. Un indice : prendre  $\nu_0$  tel que  $\ell_{\nu_0}$  est maximal. Considérer  $p \in \{1, \dots, N-1\}$  minimal pour la propriété  $\sum_{q=0}^p \ell_{\nu_0+q} > \frac{1}{2} \sum_{\nu} \ell_\nu$ , vérifier que  $p \leq N-2$  et considérer le triangle de côtés  $\sum_{q=0}^{p-1} \ell_{\nu_0+q}$ ,  $\ell_{\nu_0+p}$  et  $\sum_{q=p+1}^{N-1} \ell_{\nu_0+q}$

**Proposition 1.** *Soit  $\ell$  un vecteur de longueurs admissible. L'ensemble  $\mathcal{P}_0(\ell)$  est une partie compacte de  $\mathbb{C}^S$ .*

*Démonstration.* Il est clair que  $\mathcal{P}_0(\ell)$  est une partie fermée, non vide en raison de la continuité des applications  $L_\nu^2 - \ell_\nu^2$  et du caractère admissible du vecteur  $\ell$ .

La compacité de  $\mathcal{P}_0(\ell)$  est donc conséquence de son caractère borné et du fait que  $\mathbb{C}^S$  est de dimension finie.

Comme les longueurs des arêtes des polygones de  $\mathcal{P}_0(\ell)$  sont fixées, la distance entre deux sommets quelconques d'un tel polygone est majorée par le périmètre du polygone, qui vaut  $P(\ell) = \sum_\nu \ell_\nu$ .

Un polygone  $z \in \mathcal{P}_0(\ell)$  est donc contenu dans un disque plan (par exemple centré en l'un des sommets) de rayon  $P(\ell)$ .

Par convexité, ce disque contient le centre de gravité de  $z$ , qui, et c'est le point de la définition de  $\mathcal{P}_0(\ell)$ , est 0.

Le polygone  $z$  est donc contenu dans le disque plan de centre 0 et de rayon  $2P(\ell)$ , et ceci montre que, dans  $\mathbb{C}^S$ , la partie  $\mathcal{P}_0(\ell)$  est contenue dans la boule (euclidienne) de centre 0, de rayon  $2P(\ell)$ . □

2.2.2. *...aux sous-variétés.* Nous donnons au paragraphe 9 quelques précisions concernant le calcul différentiel réel dans  $\mathbb{C}^S$  et les notions de sous-variétés algébriques et différentielles de ce  $\mathbb{R}$ -espace vectoriel.

Dans le cas de  $\mathcal{P}_0(\ell)$ , cette sous-variété algébrique réelle de  $\mathbb{C}^S$  admet en tout point  $z$  un espace tangent  $\mathcal{T}_z$  au sens *réel algébrique* défini comme l'intersection des noyaux des différentielles en  $z$  des polynômes définissants.

En l'occurrence, comme on a

$$\mathcal{P}_0(\ell) = \{z \in \mathbb{C}^S, \forall \nu \in \Sigma, L_\nu^2(z) = \ell_\nu^2\} \cap \mathbb{C}_0^S,$$

alors l'espace tangent  $\mathcal{T}_z$  à  $\mathcal{P}_0(\ell)$  en  $z \in \mathcal{P}_0(\ell)$  est défini par

$$(7) \quad \mathcal{T}_z = \{t = (t_n) \in \mathbb{C}^S, \forall \nu \in \Sigma, (d_z L_\nu^2).t = 0\} \cap \mathbb{C}_0^S$$

que nous expliciterons en l'équation (19).

Remarquons que pour faire ce calcul, on utilisé le fait que  $\mathbb{C}_0^S$  est lui même une sous-variété de  $\mathbb{C}^S$  avec

$$\mathbb{C}_0^S = \{z \in \mathbb{C}^S, \operatorname{Re}(\sum_n z_n) = 0\} \cap \{z \in \mathbb{C}^S, \operatorname{Im}(\sum_n z_n) = 0\}$$

La dimension réelle de  $\mathcal{T}_z$ , intersection de  $N+2$  noyaux de formes linéaires dans un espace de dimension  $2N$  est supérieure à  $N-2$ . Si celle-ci vaut  $N-2$ , *i.e.* si les formes linéaires sont indépendantes, on dit que le point  $z$  est un point *régulier* de  $\mathcal{P}_0(\ell)$ , sinon, on dit que le point  $z$  est un point *singulier* de  $\mathcal{P}_0(\ell)$ .

La proposition 3 identifie les points singuliers de  $\mathcal{P}(\ell)$  et de  $\mathcal{P}_0(\ell)$  et donne la condition nécessaire et suffisante sur  $\ell$  pour que  $\mathcal{P}(\ell)$  et  $\mathcal{P}_0(\ell)$  soient des sous-variétés différentielles de  $\mathbb{C}^S$ , *i.e.* n'aient pas de points singuliers. Cette condition sur  $\ell$  montre que, pour  $\ell$  admissible et générique<sup>5</sup>,  $\mathcal{P}_0$  et  $\mathcal{P}_\ell$  sont des sous-variétés différentielles de  $\mathbb{C}^S$ .

Les calculs faits donnent au passage, *c.f.* Eq. (20), une description paramétrique de l'espace tangent  $\mathcal{T}_z$ .

---

5. en tous sens communément acceptés de ce mot

2.2.3. *Un quotient.* L'espace des modules  $\mathcal{M}(\ell)$  associé à  $\ell$  est l'ensemble  $\mathcal{P}(\ell)$  modulo l'action naturelle des isométries directes de  $\mathbb{C} \simeq \mathbb{R}^2$ .

L'espace des modules  $\mathcal{M}(\ell)$  associé à  $\ell$  s'identifie donc naturellement à  $\mathcal{P}_0(\ell)$  modulo l'action diagonale sur  $\mathbb{C}^S$  du cercle  $\mathbb{S}^1$ , *i.e.* l'action de  $SO_2$  sur les polygones.  $D$  induit une bijection de  $\mathcal{P}_0(\ell)$  sur

$$\{(\zeta_\nu)_{\nu \in \Sigma}, \forall \nu \in \Sigma, |\zeta_\nu| = \ell_\nu \text{ et } \sum_{\nu \in \Sigma} \zeta_\nu = 0\}$$

lui-même en bijection naturelle, par normalisation, avec

$$\{(u_\nu)_{\nu \in \Sigma} \in (\mathbb{S}^1)^\Sigma, \sum_{\nu \in \Sigma} \ell_\nu \cdot u_\nu = 0\}$$

L'espace  $\mathcal{M}(\ell)$  est étudié par exemple dans [FS07] où il est défini comme étant

$$\{(u_\nu)_{\nu \in \Sigma} \in (\mathbb{S}^1)^\Sigma, \sum_{\nu \in \Sigma} \ell_\nu \cdot u_\nu = 0\} / \mathbb{S}^1$$

Cette présentation de  $\mathcal{M}(\ell)$  a l'avantage d'exhiber clairement la correspondance naturelle entre les espaces  $\mathcal{M}(\ell)$  et  $\mathcal{M}(\sigma.\ell)$  où, pour une permutation  $\sigma$  de  $\Sigma$ , on note  $\sigma.\ell = (\ell_{\sigma(\nu)})_{\nu \in \Sigma}$ .

Génériquement en  $\ell$ , la sous-variété  $\mathcal{P}(\ell)$  a pour dimension (réelle)  $2N - N = N$ , la sous-variété compacte  $\mathcal{P}_0(\ell)$  a pour dimension  $N - 2$  et la variété<sup>6</sup> compacte  $\mathcal{M}(\ell)$  a pour dimension  $N - 3$ .

Enfin, pour conclure cette section, on remarque qu'on choisit volontairement de ne pas identifier deux polygones symétriques par rapport à une droite.

2.3. **L'aire orientée.** Si  $\Delta_0 = (0, z_0, z_1)$  est un triangle plan orienté positivement, *i.e.* si  $(z_0, z_1)$  est une base directe de  $\mathbb{R}^2$ ,  $z_0 = x_0 + iy_0$ ,  $z_1 = x_1 + iy_1$ , son aire, au sens le plus naïf du terme se calcule avec le déterminant donnant l'aire du parallélogramme  $(0, z_0, z_0 + z_1, z_1)$

$$A(\Delta_0) = \frac{1}{2} \begin{vmatrix} x_0 & x_1 \\ y_0 & y_1 \end{vmatrix} = \frac{1}{2}(x_0 \cdot y_1 - x_1 \cdot y_0) = \frac{1}{2i} \text{Im}(\bar{z}_0 \cdot z_1) = \frac{1}{4i} (\bar{z}_0 \cdot z_1 - z_0 \cdot \bar{z}_1)$$

Si maintenant  $z = (z_k)_{k \in S}$  est un polygone convexe, contenant 0 en son intérieur, orienté positivement, *i.e.*, si chaque triangle  $\Delta_k = (0, z_k, z_{k+1})$  est orienté positivement, son aire est la somme des aires des triangles  $\Delta_k$ , *i.e.*

$$A(z) = \sum_{k \in S} \frac{1}{4i} (\bar{z}_k \cdot z_{k+1} - z_k \cdot \bar{z}_{k+1})$$

En usant du caractère cyclique de  $S$ , on a donc aussi

$$\begin{aligned} A(z) &= \sum_{k \in S} \frac{1}{4i} (\bar{z}_k \cdot z_{k+1} - z_{k-1} \cdot \bar{z}_k) \\ &= \frac{1}{4i} \sum_{k \in S} \bar{z}_k \cdot (z_{k+1} - z_{k-1}) = \frac{1}{2} \sum_k \text{Im}((z_{k+1} - z_k) \bar{z}_k) \end{aligned}$$

On remarque que cette quantité,  $A(z)$ , définie pour tout polygone  $z$ , est invariante par translations, rotations directes du plan et que  $A(z) = -A(\bar{z})$  où  $\bar{z}$  est le symétrique orthogonal du polygone  $z$  par rapport à l'axe des abscisses.

6. elle n'est pas, en tant que telle, une sous-variété de  $\mathbb{C}^S$ , en conséquence, pour garder un niveau d'abstraction raisonnable, nous éviterons de calculer directement sur  $\mathcal{M}(\ell)$ .

On appelle  $A(z)$  l'*aire algébrique* du polygone  $z$ . La valeur absolue de cette aire coincide avec l'aire naïve au cas où le polygone  $z$  est *simple* et donc admet une traingulation.

On définit donc la fonction « aire algébrique »  $A : \mathbb{C}^S \rightarrow \mathbb{R}$  : à un polygone  $z = (z_n) \in \mathbb{C}^S$ , elle associe

$$(8) \quad A(z) = \frac{1}{4i} \sum_k (z_{k+1} - z_{k-1}) \bar{z}_k = \frac{1}{2} \sum_k \text{Im}((z_{k+1} - z_k) \bar{z}_k)$$

La fonction  $A$  est invariante sous l'action des translations et sous l'action diagonale de  $\mathbb{S}^1$  sur  $\mathbb{C}^S$  :

$$(9) \quad \forall \theta \in \mathbb{R}, A(e^{i\theta} \cdot z) = A(z).$$

Elle définit donc une fonction sur chaque espace  $\mathcal{M}(\ell)$ .

$A$  est clairement un polynôme quadratique réel sur  $\mathbb{C}^S \simeq (\mathbb{R}^2)^S$ . Calculons sa différentielle en  $z \in \mathbb{C}^S$  en utilisant la règle de différentiation des fonctions polynomiales en  $z_k, \bar{z}_k$  signalée en fin du paragraphe 9. On a par exemple, pour  $k \in S$ ,

$$\begin{aligned} d(z_{k+1} \cdot \bar{z}_k) &= \frac{\partial(z_{k+1} \cdot \bar{z}_k)}{\partial z_{k+1}} \cdot dz_{k+1} + \frac{\partial(z_{k+1} \cdot \bar{z}_k)}{\partial \bar{z}_k} \cdot d\bar{z}_k = \bar{z}_k \cdot dz_{k+1} + z_{k+1} \cdot d\bar{z}_k \\ d(z_{k-1} \cdot \bar{z}_k) &= \bar{z}_k \cdot dz_{k-1} + z_{k-1} \cdot d\bar{z}_k \end{aligned}$$

et donc, en sommant et en décalant les indices dans les deux dernières sommes,

$$\begin{aligned} d_z A &= \frac{1}{4i} \sum_k (z_{k+1} - z_{k-1}) \cdot d\bar{z}_k + \frac{1}{4i} \sum_k \bar{z}_k \cdot dz_{k+1} - \frac{1}{4i} \sum_k \bar{z}_k \cdot dz_{k-1} \\ &= \frac{1}{4i} \sum_k (z_{k+1} - z_{k-1}) \cdot d\bar{z}_k + \frac{1}{4i} \sum_k (\bar{z}_{k-1} - \bar{z}_{k+1}) \cdot dz_k \\ &= \frac{1}{2} \sum_k \text{Im}((z_{k+1} - z_{k-1}) \cdot d\bar{z}_k) \end{aligned}$$

La différentielle de  $A$  en  $z \in \mathbb{C}^S$  vaut

$$(10) \quad d_z A = \frac{1}{2} \sum_k \text{Im}((z_{k+1} - z_{k-1}) d\bar{z}_k)$$

C'est la forme  $\mathbb{R}$ -linéaire sur le  $\mathbb{R}$ -espace vectoriel  $\mathbb{C}^S$  définie par

$$\forall t \in \mathbb{C}^S, d_z A \cdot t = \frac{1}{2} \sum_k \text{Im}((z_{k+1} - z_{k-1}) \cdot \bar{t}_k)$$

La fonction  $A$ , continue, admet un minimum et un maximum sur chaque espace compact  $\mathcal{P}_0(\ell)$ . Comme lorsque deux polygones  $z$  et  $z'$  sont symétriques relativement à une droite, on a  $A(z) = -A(z')$ , on en déduit que maximum et minimum sur  $\mathcal{P}_0(\ell)$  sont opposés. Par le principe de FERMAT, en un extremant  $z$ , régulier pour  $\mathcal{P}_0(\ell)$ ,  $d_z A$  s'annule sur  $\mathcal{T}_z$ . On pose la définition

**Définition 2.** Soit  $z = (z_n) \in \mathcal{P}_0(\ell)$ . On dit que  $z$  est critique pour  $A$  sur  $\mathcal{P}_0(\ell)$  si

- (1)  $z$  est un point régulier de  $\mathcal{P}_0(\ell)$
- (2) et  $d_z A$  est nulle sur  $\mathcal{T}_z$ .

Le résultat principal s'énonce alors

**Théorème 3.** Un polygone  $z = (z_n) \in \mathcal{P}_0(\ell)$  est critique pour  $A$  sur  $\mathcal{P}_0(\ell)$  si et seulement si les points  $z_n$  sont cocycliques, non alignés.

## 3. UN PEU D'ALGÈBRE LINÉAIRE ET BILINÉAIRE

Un point dans ce qui va être développé ensuite peut mener à confusion si l'on n'y prend pas garde.

Pour utiliser les facilités de calculs qu'offre le corps  $\mathbb{C}$  en géométrie plane réelle, nous considérons les ensembles  $\mathbb{C}^S$  et  $\mathbb{C}^\Sigma$  qui sont naturellement des  $\mathbb{C}$ -espaces vectoriels.

Le problème est cependant essentiellement un problème *réel*.  $\mathcal{P}_0(\ell)$  est une sous-variété réelle de  $\mathbb{C}^S$ , son espace tangent en chaque point est un sous-espace vectoriel du  $\mathbb{R}$ -espace vectoriel  $\mathbb{C}^S$  et la fonction  $A$  est à valeurs réelles.

On verra lors de l'établissement de l'équation (20), que l'on va paramétrer (non injectivement)  $\mathcal{T}_z$ , le sous-espace tangent à  $\mathcal{P}_0(\ell)$  en  $z$ , par  $\mathcal{S}_z$ , un  $\mathbb{C}$ -sev de  $\mathbb{C}^S$ , via une application  $\mathbb{R}$ -linéaire. Le calcul de la dimension (réelle) de  $\mathcal{T}_z$ , qui nous intéresse en premier lieu, se fera via le calcul de la dimension (complexe) de  $\mathcal{S}_z$ .

**3.1. Produit scalaire, produit hermitien.** On munit  $\mathbb{C}^S$  et  $\mathbb{C}^\Sigma$  de leur structure hermitienne usuelle, si  $z, w \in \mathbb{C}^S$ ,  $\zeta, \omega \in \mathbb{C}^\Sigma$ ,

$$(11) \quad \langle z | w \rangle := \sum_{n \in S} z_n \bar{w}_n, \quad \langle \zeta | \omega \rangle := \sum_{\nu \in \Sigma} \zeta_\nu \bar{\omega}_\nu.$$

Ces structures hermitiennes induisent, à l'habitude, des structures euclidiennes sur les  $\mathbb{R}$ -espaces vectoriels  $\mathbb{C}^S$  et  $\mathbb{C}^\Sigma$  via la définition des produits scalaires, si  $z, w \in \mathbb{C}^S$ ,  $\zeta, \omega \in \mathbb{C}^\Sigma$ ,

$$(12) \quad (z | w) := \operatorname{Re} \langle z | w \rangle = \operatorname{Re} \sum_{n \in S} z_n \bar{w}_n, \quad (\zeta | \omega) := \operatorname{Re} \langle \zeta | \omega \rangle = \operatorname{Re} \sum_{\nu \in \Sigma} \zeta_\nu \bar{\omega}_\nu.$$

Pour  $\mathcal{A}$  l'un des deux espaces  $\mathbb{C}^S$  ou  $\mathbb{C}^\Sigma$  et  $\mathcal{B}$  idem,

(1) si  $F : \mathcal{A} \rightarrow \mathcal{B}$  est  $\mathbb{R}$ -linéaire, son adjoint  $F^* : \mathcal{B} \rightarrow \mathcal{A}$  est défini par,  $\forall a \in \mathcal{A}, b \in \mathcal{B}$ ,

$$(a | F^*.b) = (F.a | b),$$

(2) Si  $F : \mathcal{A} \rightarrow \mathcal{B}$  est  $\mathbb{C}$ -linéaire, son adjoint  $F^* : \mathcal{B} \rightarrow \mathcal{A}$  est défini par,  $\forall a \in \mathcal{A}, b \in \mathcal{B}$ ,

$$\langle a | F^*.b \rangle = \langle F.a | b \rangle,$$

(3) Une application  $\mathbb{C}$ -linéaire est aussi  $\mathbb{R}$ -linéaire, les deux notions d'adjoint précédentes coïncident.

Rappelons les formules de projection usuelles dans un espace hermitien.

**Lemme 1.** Soit  $\mathcal{H}$  un  $\mathbb{C}$ -espace vectoriel muni d'un produit hermitien  $\langle . | . \rangle$ , pour  $u \in \mathcal{H}$ , on note  $\|u\|$  la norme euclidienne associée sur le  $\mathbb{R}$ -espace vectoriel  $\mathcal{H}$  sous-jacent.

(1) Soit  $u \in \mathcal{H}$  un vecteur non nul et considérons le sous-espace vectoriel  $u^\perp := E_u = \{v \in \mathcal{H}, \langle v | u \rangle = 0\}$  ainsi que  $\pi_u$ , la projection orthogonale aux sens hermitien et euclidien sur  $E_u$ . On a pour  $z \in \mathcal{H}$ ,

$$\pi_u.z = z - \langle z | u \rangle \frac{u}{\|u\|^2}$$

(2) Soit  $u, v \in \mathcal{H}$  deux vecteurs non nuls,  $\langle u | v \rangle = 0$  et considérons  $\pi_{u,v}$ , la projection orthogonale aux sens hermitien et euclidien sur  $E_u \cap E_v$ . On a pour  $z \in \mathcal{H}$ ,

$$\pi_{u,v}.z = z - \langle z | u \rangle \frac{u}{\|u\|^2} - \langle z | v \rangle \frac{v}{\|v\|^2}$$

**3.2. Quelques applications linéaires.** Nous adoptons comme convention de désigner par la même lettre des opérateurs ou des objets agissant sur ou appartenant à des espaces différents pourvu que ceux-ci aient une définition similaire dans leur cadre propre. L'examen des espaces en jeu (le typage) doit lever les ambiguïtés sur l'opérateur ou l'objet en question.

Dans cet esprit, notons  $\mathbb{1}$  les vecteurs  $(1)_{n \in S} \in \mathbb{C}^S$  et  $\mathbb{1} = (1)_{\nu \in E} \in \mathbb{C}^\Sigma$ ,

$$(13) \quad \mathbb{C}_0^S = \mathbb{1}^\perp = \{z \in \mathbb{C}^S, \sum_n z_n = 0\}, \mathbb{C}_0^\Sigma = \mathbb{1}^\perp = \{\zeta \in \mathbb{C}^\Sigma, \sum_\nu \zeta_\nu = 0\}.$$

Si  $\pi_0$  est la projection hermitienne de  $\mathbb{C}^S$  sur  $\mathbb{C}_0^S$  ou de  $\mathbb{C}^\Sigma$  sur  $\mathbb{C}_0^\Sigma$ , on a, pour  $z \in \mathbb{C}^S, \zeta \in \mathbb{C}^\Sigma$ ,

$$\pi_0.z = z - \left(\frac{1}{N} \sum_n z_n\right) \mathbb{1}, \pi_0.\zeta = \zeta - \left(\frac{1}{N} \sum_\nu \zeta_\nu\right) \mathbb{1}$$

Toujours dans le même esprit, Pour  $a \in \mathbb{C}^S$ , resp.  $\alpha \in \mathbb{C}^\Sigma$ , on définit  $\llbracket a \rrbracket$ , resp.  $\llbracket \alpha \rrbracket$  l'opérateur diagonal dont la diagonale est  $a$ , resp.  $\alpha$ , *i.e.*, pour  $z \in \mathbb{C}^S$ , resp.  $\zeta \in \mathbb{C}^\Sigma$ ,  $\llbracket a \rrbracket.z \in \mathbb{C}^S$ , resp.  $\llbracket \alpha \rrbracket.\zeta \in \mathbb{C}^\Sigma$  avec

$$\forall n \in S, (\llbracket a \rrbracket.z)_n = a_n.z_n \text{ et } \forall \nu \in \Sigma, (\llbracket \alpha \rrbracket.\zeta)_\nu = \alpha_\nu.\zeta_\nu$$

On a  $\llbracket \alpha \rrbracket^* = \llbracket \bar{\alpha} \rrbracket$

On définit  $C : \mathbb{C}^S \rightarrow \mathbb{C}^S$  et  $C : \mathbb{C}^\Sigma \rightarrow \mathbb{C}^\Sigma$  les applications  $\mathbb{R}$ -linéaires de conjugaison définies par  $C.(z_n) = (\bar{z}_n)$  et  $C.(\zeta_\nu) = (\bar{\zeta}_\nu)$ . On a  $C^* = C$ .

**3.3. L'opérateur de dérivation  $D$ , l'opérateur de milieu  $M$ .** On définit  $D : \mathbb{C}^S \rightarrow \mathbb{C}^\Sigma, D : \mathbb{C}^\Sigma \rightarrow \mathbb{C}^S, M : \mathbb{C}^S \rightarrow \mathbb{C}^\Sigma, M : \mathbb{C}^\Sigma \rightarrow \mathbb{C}^S$  par les formules, pour  $z \in \mathbb{C}^S, \zeta \in \mathbb{C}^\Sigma$

$$(14) \quad (D.z)_\nu := z_{\nu+\frac{1}{2}} - z_{\nu-\frac{1}{2}}, (D.\zeta)_n := \zeta_{n+\frac{1}{2}} - \zeta_{n-\frac{1}{2}}$$

$$(15) \quad (M.z)_\nu := \frac{1}{2}(z_{\nu+\frac{1}{2}} + z_{\nu-\frac{1}{2}}), (M.\zeta)_n := \frac{1}{2}(\zeta_{n+\frac{1}{2}} + \zeta_{n-\frac{1}{2}})$$

Le lemme suivant est immédiat, nous donnons les preuves de ces formules dans le paragraphe 10.1.

**Lemme 2.** (1)  $D^* = -D, M^* = M$ ,

(2)  $D.\pi_0 = \pi_0.D = D$ ,

(3)  $M.\pi_0 = \pi_0.M$ ,

(4)  $MD = DM$  et  $(MD.z)_n = \frac{1}{2}(z_{n+1} - z_{n-1}), (MD.\zeta)_\nu = \frac{1}{2}(\zeta_{\nu+1} - \zeta_{\nu-1})$ ,

(5) (Formule de LEIBNIZ), pour  $\alpha \in \mathbb{C}^S$  ou  $\alpha \in \mathbb{C}^\Sigma$ ,

$$D.\llbracket \alpha \rrbracket = \llbracket M.\alpha \rrbracket.D + \llbracket D.\alpha \rrbracket.M$$

**3.4. L'opérateur d'intégration  $I$ , l'opérateur  $K$ , intégration par parties.**  
 $D$  est clairement un isomorphisme de  $\mathbb{C}_0^S$  sur  $\mathbb{C}_0^\Sigma$ , appelons son inverse  $I$  et étendons linéairement  $I$  à  $\mathbb{C}^\Sigma$  en posant  $I.\mathbb{1} = 0$ .

On remarque, entre autres, que  $DM = MD$ ,  $MI = IM$ . On pose aussi

$$K = MI : \mathbb{C}^\Sigma \rightarrow \mathbb{C}^\Sigma.$$

De manière analogue, on définit  $I : \mathbb{C}^S \rightarrow \mathbb{C}^\Sigma$  et  $K : \mathbb{C}^S \rightarrow \mathbb{C}^S$ .

Nous donnerons des formules explicites pour  $I$  et  $K$  dans le paragraphe 7.

On vérifie les faits énoncés dans le lemme suivant au paragraphe 10.2, l'intégration par parties étant vue comme une version duale de la formule de LEIBNIZ.

**Lemme 3.** (1)  $I^* = -I$ ,  $K^* = -K$ ,

(2)  $D.I = I.D = \pi_0$ ,

(3)  $D. [\alpha].I = [[M.\alpha]].\pi_0 + [[D.\alpha]].K$ ,

(4) (*Intégration par parties*)

$$I. [\alpha].D = \pi_0 [[M.\alpha]] - K. [[D.\alpha]].$$

**3.5. Quelques résolutions de systèmes linéaires.** Nous allons résoudre des systèmes linéaires d'un type particulier, se présentant comme un ensemble d'équations linéaires en des inconnues complexes et leurs conjuguées. A titre d'exemple introductif nous retrouvons la formule donnant l'affixe du cercle circonscrit à trois points non alignés du plan.

**Proposition 2.** Soit  $u, v, w \in \mathbb{C}$  trois points non alignés. Posons

$$c = c(u, v, w) = \frac{1}{w - u} \left( \frac{w - v}{w - v} - \frac{u - v}{u - v} \right).$$

Le centre du cercle circonscrit à  $u, v, w$  est

$$o = v + \frac{c}{|c|^2}$$

*Démonstration.* Le centre  $o$  du cercle circonscrit est l'intersection des médiatrices des segments  $[u, v]$  et  $[w, v]$ .  $t = o - v$  est donc solution du système

$$\begin{cases} (t - \frac{u-v}{2}).\overline{(u-v)} + \overline{(t - \frac{u-v}{2})}.(u-v) & = 0 \\ (t - \frac{w-v}{2}).\overline{(w-v)} + \overline{(t - \frac{w-v}{2})}.(w-v) & = 0 \end{cases}$$

La première équation étant l'expression de l'orthogonalité des vecteurs  $o - \frac{u+v}{2}$  et  $u - v$ , la seconde, celle de l'orthogonalité des vecteurs  $o - \frac{w+v}{2}$  et  $w - v$ .

Après simplification, en posant,  $s = \bar{t}$ , il s'agit de résoudre le système linéaire d'inconnues  $(t, s)$

$$\begin{cases} t.\overline{(u-v)} + s.(u-v) & = |u-v|^2 \\ t.\overline{(w-v)} + s.(w-v) & = |w-v|^2 \end{cases}$$

Ce système  $2 \times 2$  est de déterminant  $\Delta = \overline{(u-v)}.(w-v) - \overline{(w-v)}.(u-v)$ , non nul du fait du non alignement de  $u, v, w$  et les formules de CRAMER donnent

$$t = \frac{\overline{(u-v)}.(u-v).(w-v) - \overline{(w-v)}.(w-v).(u-v)}{\Delta} = \frac{(u-v).(w-v).\overline{(u-v)}}{\overline{(u-v)}.(w-v) - \overline{(w-v)}.(u-v)}$$

et

$$s = \bar{t} = \frac{1}{c}$$

□

Nous élaborons maintenant sur ce thème en augmentant le nombre de variables.

Le lemme suivant est un simple exercice d'algèbre linéaire élémentaire, on peut trouver sa démonstration au paragraphe 10.3.

**Lemme 4** (Résolution de systèmes linéaires particuliers). *Soient  $n$  et  $p$  deux entiers naturels et soit  $A$  une matrice à coefficients complexes<sup>7</sup>,  $p$  lignes,  $n$  colonnes. On considère les ensembles suivants*

$$\begin{aligned}\mathcal{T} &= \{T \in \mathbb{C}^n, A.T + \bar{A}.\bar{T} = 0\}, \\ \mathcal{T}_0 &= \{(T, S) \in \mathbb{C}^n \times \mathbb{C}^n, A.T + \bar{A}.S = 0\}, \\ \mathcal{T}_R &= \{(T, S) \in \mathbb{C}^n \times \mathbb{C}^n, A.T + \bar{A}.S = 0, T = \bar{S}\}, \\ \mathcal{T}_I &= \{(T, S) \in \mathbb{C}^n \times \mathbb{C}^n, A.T + \bar{A}.S = 0, T = -\bar{S}\},\end{aligned}$$

alors

- (1)  $\mathcal{T}_0$  est un  $\mathbb{C}$ -sev de  $\mathbb{C}^n \times \mathbb{C}^n$ ,  $\mathcal{T}_R$  et  $\mathcal{T}_I$  sont des  $\mathbb{R}$ -sev de  $\mathbb{C}^n \times \mathbb{C}^n$ ,  $\mathcal{T}$  est un  $\mathbb{R}$ -sev de  $\mathbb{C}^n$ ,
- (2)  $\mathcal{T}_0 = \mathcal{T}_R \oplus \mathcal{T}_I$ , au sens des  $\mathbb{R}$ -sous-espaces de  $\mathbb{C}^n \times \mathbb{C}^n$ , avec projections associées<sup>8</sup>

$$\pi_{R//I}(T, S) = \frac{1}{2}(T + \bar{S}, \bar{T} + S), \quad \pi_{I//R}(T, S) = \frac{1}{2}(T - \bar{S}, -\bar{T} + S).$$

- (3) L'application  $\mathcal{T}_R \rightarrow \mathcal{T}_I$ ,  $(T, S) \mapsto (i.T, i.S)$  est un isomorphisme. L'application  $\mathcal{T}_R \rightarrow \mathcal{T}$ ,  $(T, S) \mapsto T$  est un isomorphisme.
- (4) En particulier,  $\dim_{\mathbb{R}} \mathcal{T} = \dim_{\mathbb{R}} \mathcal{T}_R = \frac{1}{2} \dim_{\mathbb{R}} \mathcal{T}_0 = \dim_{\mathbb{C}} \mathcal{T}_0$ .
- (5) Si  $J$  et  $Q$  sont deux matrices telles que

$$\mathcal{T}_0 = \{(T, S) \in \mathbb{C}^n \times \mathbb{C}^n, T = J.S, Q.S = 0\}$$

alors

$$\mathcal{T} = \{J.S + \bar{S}, S \in \mathbb{C}^n, Q.S = 0\} = (J + C)(\text{Ker}(Q))$$

et  $\dim_{\mathbb{R}} \mathcal{T} = \dim_{\mathbb{C}} \text{Ker}(Q)$ .

3.6. **Définition de  $J_\alpha$ .** On pose, pour  $\alpha \in (\mathbb{S}^1)^\Sigma$ ,

$$(16) \quad J_\alpha = I. \llbracket \alpha \rrbracket .D$$

L'application directe des lemmes 4 et 3.(2) donne immédiatement<sup>9</sup>

**Lemme 5.** Soit  $\alpha = (\alpha_\nu) \in (\mathbb{S}^1)^\Sigma$ ,

- (1) L'ensemble des solutions du système  $\mathbb{R}$ -linéaire

$$\begin{cases} t_{\nu+\frac{1}{2}} - t_{\nu-\frac{1}{2}} + \alpha_\nu(\bar{t}_{\nu+\frac{1}{2}} - \bar{t}_{\nu-\frac{1}{2}}) = 0 & \forall \nu \in \Sigma \\ \sum_n t_n = 0 \end{cases}$$

7. Pour une matrice, ou un vecteur  $A$  à coefficients complexes, on note  $\bar{A}$  la matrice ou le vecteur dont les entrées sont les conjuguées des entrées de  $A$ .

8. On note  $\pi_{R//I}$  la projection sur  $\mathcal{T}_R$  parallèlement  $\mathcal{T}_I$  et  $\pi_{I//I}$  la projection sur  $\mathcal{T}_I$  parallèlement  $\mathcal{T}_R$

9. Il suffit de poser  $\mathcal{T}_0 = \{(T, S) \in \mathbb{C}^S \times \mathbb{C}^S, \llbracket \beta \rrbracket D.T + \llbracket \bar{\beta} \rrbracket .D.S = 0, \langle T | \mathbb{1} \rangle + \langle S | \mathbb{1} \rangle = 0, \langle T | \mathbb{1} \rangle - \langle S | \mathbb{1} \rangle = 0\}$  avec  $\beta_\nu$ , une racine carrée de  $\alpha_\nu$ .

d'inconnue  $t = (t_n) \in \mathbb{C}^S$ , est le  $\mathbb{R}$ -sev de  $\mathbb{C}^S$

$$\begin{aligned} \mathcal{T}_\alpha &= \{t = -J_\alpha \cdot s + \bar{s}, s = (s_n) \in \mathbb{C}^S, \sum_n s_n = 0, \sum_n (\alpha_{n+\frac{1}{2}} - \alpha_{n-\frac{1}{2}})s_n = 0\} \\ &= (-J_\alpha + C)(\mathbb{1}^\perp \cap (D.\bar{\alpha})^\perp) \end{aligned}$$

(2) La dimension de  $\mathcal{T}_\alpha$  (sur  $\mathbb{R}$ ) est la dimension (sur  $\mathbb{C}$ ) de

$$\mathcal{S}_\alpha := \{s \in \mathbb{C}^S, \sum_n s_n = 0, \sum_n (\alpha_{n+\frac{1}{2}} - \alpha_{n-\frac{1}{2}})s_n = 0\} = \mathbb{1}^\perp \cap (D.\bar{\alpha})^\perp$$

(a) Elle vaut  $N - 1$  si les  $\alpha_\nu$  sont tous égaux,

(b) elle vaut  $N - 2$  sinon.

#### 4. UNE REPRÉSENTATION PARAMÉTRIQUE DE L'ESPACE TANGENT $\mathcal{T}_z$

Pour un polygone  $z \in \mathcal{P}_0(\ell)$ , posons  $\zeta = D.z$  et  $\alpha \in \mathbb{C}^\Sigma$  défini par

$$(17) \quad \alpha_\nu = \frac{\zeta_\nu}{\bar{\zeta}_\nu}, \forall \nu \in \Sigma$$

$\alpha$  est bien défini car, pour  $\nu \in \Sigma$ ,  $|\zeta_\nu| = \ell_\nu > 0$ .

Les fonctions  $L_\nu^2$  ont été définies en (6). Pour  $\nu \in \Sigma$ , en utilisant les règles de calcul différentiel rappelées au paragraphe 9, comme pour  $\nu \in \sigma$ ,

$$L_\nu^2(z) = |z_{\nu+\frac{1}{2}} - z_{\nu-\frac{1}{2}}|^2 = (z_{\nu+\frac{1}{2}} - z_{\nu-\frac{1}{2}}) \cdot \overline{(z_{\nu+\frac{1}{2}} - z_{\nu-\frac{1}{2}})},$$

la différentielle de  $L_\nu^2$  en  $z$  vaut

$$(18) \quad d_z L_\nu^2 = \overline{z_{\nu+\frac{1}{2}} - z_{\nu-\frac{1}{2}}} (dz_{\nu+\frac{1}{2}} - dz_{\nu-\frac{1}{2}}) + (z_{\nu+\frac{1}{2}} - z_{\nu-\frac{1}{2}}) (d\bar{z}_{\nu+\frac{1}{2}} - d\bar{z}_{\nu-\frac{1}{2}})$$

Comme

$$\mathcal{P}_0(\ell) = \{z \in \mathbb{C}^S, L_\nu^2(z) = \ell_\nu^2, \forall \nu \in \Sigma\} \cap \mathbb{1}^\perp$$

Son espace tangent en  $z$ , au sens réel algébrique, est

$$(19) \quad \mathcal{T}_z := \{(t_n) \in \mathbb{C}^S, \overline{z_{\nu+\frac{1}{2}} - z_{\nu-\frac{1}{2}}} (t_{\nu+\frac{1}{2}} - t_{\nu-\frac{1}{2}}) + (z_{\nu+\frac{1}{2}} - z_{\nu-\frac{1}{2}}) (\bar{t}_{\nu+\frac{1}{2}} - \bar{t}_{\nu-\frac{1}{2}}) = 0, \forall \nu \in \Sigma\} \cap \mathbb{1}^\perp$$

D'après le lemme 5, en posant

$$\mathcal{S}_z := \{s = (s_n) \in \mathbb{C}^S, \sum_n s_n = 0, \sum_n (\alpha_{n+\frac{1}{2}} - \alpha_{n-\frac{1}{2}})s_n = 0\},$$

on a

$$(20) \quad \mathcal{T}_z = \{-J_\alpha \cdot s + \bar{s}, s = \mathcal{S}_z\} = (-J_\alpha + C)(\mathcal{S}_z)$$

où  $J_\alpha$  est défini dans le paragraphe 3.6.  $\mathcal{T}_z$  est de dimension réelle  $N - 1$  si les  $\alpha_\nu$  sont tous égaux,  $N - 2$  sinon.

Le fait que les  $\alpha_\nu$  soient tous égaux équivaut au fait qu'il existe un nombre complexe de module 1,  $e^{i\theta_0}$  tel que, pour tout  $\nu \in \Sigma$ ,  $z_{\nu+\frac{1}{2}} - z_{\nu-\frac{1}{2}} = \epsilon_\nu \ell_\nu e^{i\theta_0}$  avec  $\epsilon_\nu = \pm 1$ . Ceci équivaut au fait que d'une part

$$(21) \quad \sum_\nu \epsilon_\nu \ell_\nu = 0$$

et d'autre part les point  $z_n$  sont alignés sur une droite.

On résume ce qui vient d'être dit sous la forme suivante.

**Proposition 3.** *Dans tous les cas, si  $\ell$  est admissible, les polygones colinéaires<sup>10</sup> sont les points singuliers de  $\mathcal{P}_0(\ell)$ .*

- (1) *Si, pour tout  $\epsilon \in \{-1, +1\}^\Sigma$ ,  $\sum_\nu \epsilon_\nu \cdot \ell_\nu \neq 0$ , alors tout point  $z$  de  $\mathcal{P}_0(\ell)$  est régulier.  $\mathcal{P}_0(\ell)$  est une sous-variété différentiable réelle de  $\mathbb{C}^S$  de dimension  $N - 2$ .*
- (2) *Si, par contre, il existe un  $\Sigma$ -uplet  $(\epsilon_\nu) = (\pm 1)_\nu$  tel que  $\sum_\nu \epsilon_\nu \cdot \ell_\nu = 0$ , il y a au moins un point singulier dans  $\mathcal{P}_0(\ell)$ .*

Examinons ce qui arrive lorsqu'on passe au quotient sous l'action diagonale de  $\mathbb{S}^1$ ,  $(e^{i\theta}, z) \mapsto e^{i\theta} \cdot z$ .

Fixons  $z \in \mathcal{P}_0(\ell)$ . La courbe  $\theta \mapsto e^{i\theta} \cdot z$ , contenue dans  $\mathcal{P}_0(\ell)$ , a pour vecteur tangent en  $\theta = 0$  le vecteur  $i \cdot z$ . Celui-ci appartient donc à l'espace tangent  $\mathcal{T}_z$ . Dans le paramétrage (20), ce vecteur est l'image du vecteur  $s = \frac{i}{2}\bar{z} \in \mathcal{S}_z$ .

L'espace tangent à  $\mathcal{M}(\ell)$  en  $z$  est naturellement isomorphe à  $\mathcal{T}_z / \text{Vect}_{\mathbb{R}}\{i \cdot z\}$ .

## 5. PREUVE DU THÉORÈME

Nous avons démontré que les points singuliers de  $\mathcal{P}_0(\ell)$  sont les polygones colinéaires. Pour conclure le théorème, on se place en un polygone  $z \in \mathcal{P}_0(\ell)$ , non colinéaire. On démontre alors qu'il est critique pour l'aire sur  $\mathcal{P}_0(\ell)$  si et seulement si il est cocyclique.

La démonstration est basée sur le calcul de la norme d'opérateur de la restriction de  $d_z A$  à  $\mathcal{T}_z$  après avoir équipé cet espace<sup>11</sup> d'une norme euclidienne adéquate.

Le polygone  $z$  est critique pour  $A$  sur  $\mathcal{P}_0(\ell)$  si et seulement si cette norme est nulle.

Définissons sur  $\mathcal{S}_z \subset \mathbb{C}^S$  la fonction

$$(22) \quad \mathcal{A}_z(s) = d_z A.(-J_\alpha \cdot s + \bar{s}) = d_z A.(-J_\alpha + C) \cdot s$$

$\mathcal{A}_z$  est une forme linéaire réelle sur  $\mathcal{S}_z$ . Il existe donc un vecteur  $a_z \in \mathcal{S}_z$  tel que pour tout  $s \in \mathcal{S}_z$ ,

$$(23) \quad \mathcal{A}_z(s) = (a_z | s)$$

La norme euclidienne usuelle de ce vecteur est

$$\begin{aligned} \|a_z\| &= \sup_{s \in \mathcal{S}_z, \|s\| \leq 1} (a_z | s) = \sup_{s \in \mathcal{S}_z, \|s\| \leq 1} \mathcal{A}_z(s) \\ &= \sup_{w \in \mathcal{T}_z, \|w\|_z \leq 1} d_z A \cdot w \end{aligned}$$

où  $\|\cdot\|_z$  est la norme euclidienne sur  $\mathcal{T}_z$  dont la boule unité est l'ellipsoïde  $(-J_\alpha + C)(\mathbb{B}_1 \cap \mathcal{S}_z)$  où  $\mathbb{B}_1$  est la boule unité euclidienne usuelle dans  $\mathbb{C}^S$ .

Plus précisément, on a, pour  $w \in \mathcal{T}_z = (-J_\alpha + C)(\mathcal{S}_z)$

$$(24) \quad \|w\|_z = \inf\{\|s\|, s \in \mathcal{S}_z, w = (-J_\alpha + C) \cdot s\}$$

Il est clair que  $z$  est critique pour  $A$  sur  $\mathcal{P}_0(\ell)$  si et seulement si  $\|a_z\| = 0$ .

Explicitons maintenant le vecteur  $a_z$  et calculons  $\|a_z\|$ .

10. Un polygone est colinéaire si tous les points sont alignés.

11. Cette famille de normes euclidiennes définit une structure Riemannienne de  $\mathcal{P}_0(\ell)$  et nous calculerons en paragraphe 7 le gradient de  $A$  sur  $\mathcal{P}_0(\ell)$  relativement à cette structure.

On a

$$\begin{aligned} \mathcal{A}_z(s) &= \frac{1}{2} \sum_k \operatorname{Im}((z_{k+1} - z_{k-1}) \cdot \overline{(-J_\alpha \cdot s + \bar{s})_k}) = -(i \cdot D.M.z \mid (-J_\alpha + C) \cdot s) \\ &= -((-J_\alpha^* + C) i \cdot D.M.z \mid s) = (i(J_\alpha^* + C) D.M.z \mid s) \end{aligned}$$

Calculons le vecteur  $\tilde{a}_z = i(J_\alpha^* + C) D.M.z \in \mathbb{C}^S$ .

— D'une part,

$$(i.C.M.D.z)_n = \frac{i}{2} \overline{z_{n+1} - z_{n-1}}$$

— d'autre part, en utilisant les diverses règles régissant  $I, M, D, \llbracket \alpha \rrbracket, \pi_0$ ,

$$J_\alpha^* . D.M = D . \llbracket \bar{\alpha} \rrbracket . I.D.M = D . \llbracket \bar{\alpha} \rrbracket . M . \pi_0$$

On a  $\pi_0.z = z$  et, pour  $n \in S$ ,

$$\begin{aligned} (D . \llbracket \bar{\alpha} \rrbracket . M.z)_n &= (\llbracket \bar{\alpha} \rrbracket . M.z)_{n+\frac{1}{2}} - (\llbracket \bar{\alpha} \rrbracket . M.z)_{n-\frac{1}{2}} = \frac{1}{2} (\bar{\alpha}_{n+\frac{1}{2}}(z_{n+1} + z_n) - \bar{\alpha}_{n-\frac{1}{2}}(z_n + z_{n-1})) \\ &= \frac{1}{2} (\bar{\alpha}_{n+\frac{1}{2}}(z_{n+1} - z_n) - \bar{\alpha}_{n-\frac{1}{2}}(z_{n-1} - z_n)) + z_n (\bar{\alpha}_{n+\frac{1}{2}} - \bar{\alpha}_{n-\frac{1}{2}}) \\ &= \frac{1}{2} \overline{z_{n+1} - z_{n-1}} + z_n (\bar{\alpha}_{n+\frac{1}{2}} - \bar{\alpha}_{n-\frac{1}{2}}) \end{aligned}$$

Remarquons que pour obtenir cette dernière ligne, nous avons utilisé que

$$\alpha_{n+\frac{1}{2}} = \frac{z_{n+1} - z_n}{z_{n+1} - z_n} \text{ et } \alpha_{n-\frac{1}{2}} = \frac{z_{n-1} - z_n}{z_{n-1} - z_n}$$

— Finalement,

$$(25) \quad \forall n \in S, (\tilde{a}_z)_n = i (\overline{z_{n+1} - z_{n-1}} + z_n \overline{\alpha_{n+\frac{1}{2}} - \alpha_{n-\frac{1}{2}}})$$

Le vecteur  $u = (\overline{\alpha_{n+\frac{1}{2}} - \alpha_{n-\frac{1}{2}}})_{n \in S}$  est non nul car le polygone  $(z_n)$  n'est pas colinéaire.

Le vecteur  $a_z$  est la projection orthogonale de  $\tilde{a}_z$  sur  $\mathcal{S}_z = \mathbb{1}^\perp \cap u^\perp$ . En appliquant le lemme 1, en remarquant que  $\langle \tilde{a}_z \mid \mathbb{1} \rangle = 0$ ,

$$(26) \quad a_z = \tilde{a}_z - \frac{\langle \tilde{a}_z \mid (\overline{\alpha_{n+\frac{1}{2}} - \alpha_{n-\frac{1}{2}}})_n \rangle}{\sum_n |\alpha_{n+\frac{1}{2}} - \alpha_{n-\frac{1}{2}}|^2} (\overline{\alpha_{n+\frac{1}{2}} - \alpha_{n-\frac{1}{2}}})_n$$

Par PYTHAGORE,

$$\|a_z\|^2 = \frac{\|\tilde{a}_z\|^2 \|(\overline{\alpha_{n+\frac{1}{2}} - \alpha_{n-\frac{1}{2}}})_n\|^2 - |\langle \tilde{a}_z \mid (\overline{\alpha_{n+\frac{1}{2}} - \alpha_{n-\frac{1}{2}}})_n \rangle|^2}{\sum_n |\alpha_{n+\frac{1}{2}} - \alpha_{n-\frac{1}{2}}|^2}$$

Par le cas d'égalité de l'inégalité de CAUCHY-SCHWARZ,  $\|a_z\|^2 = 0$  si et seulement si  $\tilde{a}_z$  et  $(\overline{\alpha_{n+\frac{1}{2}} - \alpha_{n-\frac{1}{2}}})_n$  sont  $\mathbb{C}$ -colinéaires, *i.e.*, il existe  $o \in \mathbb{C}$  tel que, pour tout  $n \in S$ ,

$$\overline{z_{n+1} - z_{n-1}} + z_n \overline{\alpha_{n+\frac{1}{2}} - \alpha_{n-\frac{1}{2}}} = o \cdot \overline{\alpha_{n+\frac{1}{2}} - \alpha_{n-\frac{1}{2}}}$$

et donc, pour tout  $n \in S$ ,

— soit  $\alpha_{n+\frac{1}{2}} - \alpha_{n-\frac{1}{2}} = 0$  auquel cas  $z_{n+1} = z_{n-1}$ ,

— soit  $z_n + \left( \frac{z_{n+1} - z_{n-1}}{\alpha_{n+\frac{1}{2}} - \alpha_{n-\frac{1}{2}}} \right) = o$ ,  $o$  est donc, par la proposition 2 le centre du cercle circonscrit aux points  $z_{n-1}, z_n, z_{n+1}$ .

Nous prouvons maintenant que dans une telle situation, tous les points sont sur un même cercle. Posons

$$Z := \{n \in S, \alpha_{n+\frac{1}{2}} = \alpha_{n-\frac{1}{2}}\} = \{n \in S, z_{n+1} = z_{n-1}\}$$

Par hypothèse de non colinéarité de  $z$ , il existe un point  $n_0 \notin Z$ . En définissant  $\Gamma$ , le cercle de centre  $o$  de rayon  $R = |z_{n_0} - o|$ , on montre alors facilement<sup>12</sup> par récurrence, que tous les  $z_n$ ,  $n \in S$  appartiennent à ce cercle.

Le théorème 3 est donc démontré.

## 6. MULTIPLICATEURS DE LAGRANGE

**6.1. Leur valeur.** Posons, pour  $z = (z_n) \in \mathbb{C}^S$ ,  $\lambda = (\lambda_\nu) \in \mathbb{R}^\Sigma$ ,  $\mu \in \mathbb{C}$ ,

$$\mathcal{L}(z, \lambda, \mu) = 2.A(z) + \frac{1}{2} \sum_{\nu} \lambda_{\nu} (L_{\nu}^2(z) - \ell_{\nu}^2) + \operatorname{Re}(\mu \sum_n \bar{z}_n),$$

le lagrangien associé au problème de la minimisation de  $A$  sous la contrainte  $z \in \mathcal{P}_0(\ell)$ .

Il est classique, c'est le théorème des multiplicateurs de LAGRANGE, que, à l'exception des point singuliers de  $\mathcal{P}_0(\ell)$ , les points critiques de  $\mathcal{L}$  sur  $\mathbb{C}^S \times \mathbb{R}^\Sigma \times \mathbb{C}$  sont exactement les points critiques de  $A$  sur  $\mathcal{P}_0(\ell)$ .

Calculons donc les multiplicateurs de LAGRANGE associés à chaque point critique de  $A$ . On a

$$\begin{aligned} d\mathcal{L} &= \operatorname{Re} \left( \sum_n \{-i(z_{n+1} - z_{n-1}) + \lambda_{n-\frac{1}{2}}(z_n - z_{n-1}) - \lambda_{n+\frac{1}{2}}(z_{n+1} - z_n) + \mu\} d\bar{z}_n \right) \\ &\quad + \frac{1}{2} \sum_{\nu} (L_{\nu}^2(z) - \ell_{\nu}^2) d\lambda_{\nu} + \operatorname{Re} \left( \sum_n \bar{z}_n d\mu \right) \end{aligned}$$

$(z, \lambda, \mu)$  est critique pour  $\mathcal{L}$  si et seulement si

- (1)  $\sum_n \bar{z}_n = 0$ ,
- (2)  $L_{\nu}^2(z) - \ell_{\nu}^2 = 0$ ,  $\forall \nu \in \Sigma$ ,
- (3)  $-i(z_{n+1} - z_{n-1}) + \lambda_{n-\frac{1}{2}}(z_n - z_{n-1}) - \lambda_{n+\frac{1}{2}}(z_{n+1} - z_n) + \mu = 0$ ,  $\forall n \in S$ .

Les deux premières conditions marquent l'appartenance de  $z$  à  $\mathcal{P}_0(\ell)$ , la dernière condition permet de calculer les multiplicateurs  $\lambda, \mu$ .

Supposons que  $z$  est point critique de  $A$  sur  $\mathcal{P}_0(\ell)$ . Il n'est pas colinéaire et est cocyclique. Il existe alors  $o \in \mathbb{C}$ ,  $R > 0$ ,  $\theta = (\theta_n) \in \mathbb{R}^S$  tels que  $z_n = o + Re^{i\theta_n}$ . On donne la valeur de  $\lambda$  en fonction de la famille d'angles  $\theta$ .

La dernière condition s'écrit en termes matriciels, en insérant le point  $o$ ,

$$D. \llbracket \lambda \rrbracket . D.z = -2iD.M.(z - o\mathbb{1}) + \mu.\mathbb{1}$$

Ceci montre, d'une part que  $\mu = 0$  et qu'il existe  $c \in \mathbb{C}$  tel que

$$\llbracket \lambda \rrbracket . D.z = -2iM.(z - o\mathbb{1}) + c\mathbb{1}$$

et donc, il existe  $c \in \mathbb{C}$  tel que pour tout  $\nu \in \Sigma$ ,

$$\lambda_{\nu}(z_{\nu+\frac{1}{2}} - z_{\nu-\frac{1}{2}}) = -i(z_{\nu+\frac{1}{2}} - o + z_{\nu-\frac{1}{2}} - o) + c$$

12. En posant comme hypothèse de récurrence au rang  $p$  :  $z_{n_0+p}, z_{n_0+p+1} \in \Gamma$ . Comme  $n_0 \notin Z$ , cette hypothèse est vraie au rang  $p = 0$ . Supposons la vraie au rang  $p$  et montrons qu'elle est vraie au rang  $p + 1$ . Il s'agit de montrer que  $z_{n_0+p+2} \in \Gamma$ . A ceci, deux possibilités, soit  $p + 1 \in Z$  et à ce moment  $z_{n_0+p+2} = z_{n_0+p} \in \Gamma$ , soit  $p + 1 \notin Z$  et à ce moment  $z_{n_0+p}, z_{n_0+p+1}$  et  $z_{n_0+p+2}$  sont sur un même cercle de centre  $o$  qui ne peut être que  $\Gamma$ .

On doit donc avoir

$$2i\lambda_\nu \sin \frac{\theta_{\nu+\frac{1}{2}} - \theta_{\nu-\frac{1}{2}}}{2} = -i \cos \frac{\theta_{\nu+\frac{1}{2}} - \theta_{\nu-\frac{1}{2}}}{2} + c.e^{-i\frac{\theta_{\nu+\frac{1}{2}} + \theta_{\nu-\frac{1}{2}}}{2}}$$

Comme  $\lambda_\nu \in \mathbb{R}$ , si  $c \neq 0$ , on doit donc avoir, pour tous  $\nu, \nu' \in \Sigma$ ,

$$\frac{\theta_{\nu+\frac{1}{2}} + \theta_{\nu-\frac{1}{2}}}{2} = \frac{\theta_{\nu'+\frac{1}{2}} + \theta_{\nu'-\frac{1}{2}}}{2} [\pi]$$

Pour continuer l'analyse, on peut supposer que pour un certain  $\nu_0$ , le polygone a été normalisé de sorte que  $\theta_{\nu_0+\frac{1}{2}} + \theta_{\nu_0-\frac{1}{2}} = 0[2\pi]$ . Cela force alors, pour tout  $\nu \in \Sigma$ ,

$$\theta_{\nu+\frac{1}{2}} = -\theta_{\nu-\frac{1}{2}}[2\pi]$$

- Si  $N$  est impair, on a alors  $\theta_{\nu+\frac{1}{2}} = 0[2\pi]$ , pour tout  $\nu$ , ce qui est impossible car alors  $z$  serait réduit à un point.
- Si  $N$  est pair, cela force à se retrouver dans une situation colinéaire, ce que l'on a exclu pour  $z$ .

En supposant donc que  $z$  est point critique de  $A$  sur  $\mathcal{P}_0(\ell)$ , il vient  $c = 0$ . Remarquons par ailleurs que

$$L_\nu^2(z) = |z_{\nu+\frac{1}{2}} - z_{\nu-\frac{1}{2}}|^2 = \ell_\nu^2 = 4R^2 \sin^2 \frac{\theta_{\nu+\frac{1}{2}} - \theta_{\nu-\frac{1}{2}}}{2} \neq 0$$

et donc

$$\forall \nu \in S, \lambda_\nu = -\cot \frac{\theta_{\nu+\frac{1}{2}} - \theta_{\nu-\frac{1}{2}}}{2} = -i \frac{z_{\nu+\frac{1}{2}} - o + z_{\nu-\frac{1}{2}} - o}{z_{\nu+\frac{1}{2}} - z_{\nu-\frac{1}{2}}}.$$

**6.2. Points critiques avec un côté libre.** Fixons une arête  $\nu_0$ . On peut considérer le problème de trouver les points critiques de  $A$  sous la contrainte que toutes les longueurs  $L_\nu$  soient imposées, à l'exception de  $L_{\nu_0}$ .

Cela nous conduit à rechercher les points critiques du lagrangien

$$\mathcal{L}_{\nu_0}(z, \lambda, \mu) = 2.A(z) + \frac{1}{2} \sum_{\nu \neq \nu_0} \lambda_\nu (L_\nu^2(z) - \ell_\nu^2) + \operatorname{Re}(\mu \sum_n \bar{z}_n),$$

Pour abrégé, on dira que  $z$  est point critique du lagrangien  $\mathcal{L}$  ou  $\mathcal{L}_{\nu_0}$ , s'il existe des paramètres complémentaires  $\lambda, \mu, \dots$  tels que  $(z, \lambda, \mu)$  est point critique de  $\mathcal{L}, \mathcal{L}_{\nu_0}, \dots$

Les points critiques  $z$  de  $\mathcal{L}_{\nu_0}$  sont ceux de  $\mathcal{L}$  avec la contrainte supplémentaire que  $\lambda_{\nu_0} = 0$ . De tels  $z$  sont cocycliques s'ils sont non alignés. Notons  $o$  le centre du cercle circonscrit à  $z$ . En reprenant la formule trouvée pour  $\lambda_{\nu_0}$ , il est clair que, pourvu que  $z_{\nu_0+\frac{1}{2}} \neq z_{\nu_0-\frac{1}{2}}$ ,

$$\lambda_{\nu_0} = 0 \Leftrightarrow \frac{1}{2}(z_{\nu_0+\frac{1}{2}} + z_{\nu_0-\frac{1}{2}}) = o,$$

ce qui équivaut au fait que le segment  $[z_{\nu_0-\frac{1}{2}}, z_{\nu_0+\frac{1}{2}}]$  est un diamètre du cercle circonscrit à  $z$ .

Ce résultat, dû à G. KHIMSHIASHVILI et D. SIERSMA, [KS13], est à rapprocher de [Leg41], Proposition IV, p.132.

**6.3. Points critiques à périmètre imposé et variantes.** On peut considérer le problème de trouver les points critiques de  $A$  sous la contrainte que la somme des carrés des longueurs, *i.e.*  $\sum_{\nu} L_{\nu}^2$  soit imposée. Cela nous conduit à rechercher les points critiques du lagrangien

$$\mathcal{L}_{\mathcal{P}_2}(z, \tilde{\lambda}, \mu) = 2.A(z) + \frac{1}{2}\tilde{\lambda} \cdot \sum_{\nu} (L_{\nu}^2(z) - \ell_{\nu}^2) + \operatorname{Re}(\mu \sum_n \bar{z}_n),$$

Les points critiques de ce lagrangien se déduisent de ceux de  $\mathcal{L}$  avec la contrainte supplémentaire que  $\forall \nu \in \Sigma, \lambda_{\nu} = \tilde{\lambda}$ . Cette condition se réécrit

$$\forall \nu, \nu' \in \Sigma, \theta_{\nu+\frac{1}{2}} - \theta_{\nu-\frac{1}{2}} = \theta_{\nu'+\frac{1}{2}} - \theta_{\nu'-\frac{1}{2}}[2\pi]$$

où  $(z_n) = (o + R.e^{i\theta_n})$ .

Pour  $n \in S$ , en prenant  $\nu = n + \frac{1}{2}$ ,  $\nu' = (n - 1) + \frac{1}{2}$ , on a donc

$$\forall n \in S, \theta_{n+1} - \theta_n = \theta_n - \theta_{n-1}[2\pi]$$

et ceci équivaut à l'existence d'angles  $\theta_0$  et  $\alpha = 0[\frac{2\pi}{N}]$  tels que, en ayant fixé un sommet  $n_0 \in S$ , on ait

$$\forall k \in \mathbb{Z}/N.\mathbb{Z}, z_{n_0+k} = o + R.e^{i.\theta_0}.e^{i.k.\alpha}$$

Cela implique que les  $N$  sommets  $z_n$  sont les sommets d'un polygone régulier<sup>13</sup>

Le problème, en un sens plus classique—on est alors dans les conditions de la Proposition VII de [Leg41]—, de trouver les points critiques de  $A$  sous la contrainte que le périmètre, *i.e.*  $P(z) = \sum_{\nu} \sqrt{L_{\nu}^2(z)}$  soit imposé, se règle de manière similaire.

En posant  $\psi$ , la fonction racine carrée, la méthode nous conduit à rechercher les points critiques du lagrangien

$$\mathcal{L}_{\mathcal{P}_1}(z, \tilde{\lambda}, \mu) = 2.A(z) + \frac{1}{2}\tilde{\lambda} \cdot \sum_{\nu} (\psi(L_{\nu}^2(z)) - \psi(\ell_{\nu}^2)) + \operatorname{Re}(\mu \sum_n \bar{z}_n),$$

Ceux-ci sont les points critiques du lagrangien  $\mathcal{L}^{\psi}$  défini par

$$\mathcal{L}^{\psi}(z, \lambda, \mu) = 2.A(z) + \frac{1}{2} \sum_{\nu} \lambda_{\nu} (\psi(L_{\nu}^2(z)) - \psi(\ell_{\nu}^2)) + \operatorname{Re}(\mu \sum_n \bar{z}_n),$$

avec la contrainte supplémentaire que  $\forall \nu \in \Sigma, \lambda_{\nu} = \tilde{\lambda}$ .

Un polygone  $z$ , non colinéaire, de côtés de longueur  $> 0$ , est critique pour ce lagrangien si et seulement si il est cocyclique et un calcul similaire à celui en 6.1 (on conserve les notations de ce calcul) montre qu'alors les multiplicateurs de LAGRANGE  $(\lambda_{\nu})$  vérifient

$$\forall \nu \in \Sigma, \lambda_{\nu} \cdot \psi'(L_{\nu}^2(z)) = -\cot \frac{\theta_{\nu+\frac{1}{2}} - \theta_{\nu-\frac{1}{2}}}{2}$$

Comme  $\psi'(x) = \frac{1}{2\sqrt{x}}$  et  $\sqrt{L_{\nu}^2(z)} = 2R \left| \sin \frac{\theta_{\nu+\frac{1}{2}} - \theta_{\nu-\frac{1}{2}}}{2} \right|$ , on obtient que

$$\forall \nu \in \Sigma, \lambda_{\nu} = -4R \operatorname{sgn}(\sin \frac{\theta_{\nu+\frac{1}{2}} - \theta_{\nu-\frac{1}{2}}}{2}) \cos \frac{\theta_{\nu+\frac{1}{2}} - \theta_{\nu-\frac{1}{2}}}{2}$$

Pour deux angles  $\theta, \theta'$ , on a

$$\operatorname{sgn}(\sin \theta) \cos \theta = \operatorname{sgn}(\sin \theta') \cos \theta' \Leftrightarrow \theta = \theta'[\pi]$$

13. Ce qui n'équivaut pas au fait que  $z$  soit le  $N$ -gone régulier au sens usuel du terme. Les polygones croisés sont autorisés, par exemple, prendre pour  $N = 8$ ,  $\alpha = \frac{3\pi}{4}$ . D'autres cas sont possibles, par exemple le carré parcouru deux fois dans le cas  $N = 8$ ,  $\alpha = \frac{\pi}{2}$ .

Un polygone  $z = (z_n) = (o + R.e^{i\theta_n})$  est donc critique pour le lagrangien à périmètre constant si et seulement si

$$\forall \nu, \nu' \in \Sigma, \theta_{\nu+\frac{1}{2}} - \theta_{\nu-\frac{1}{2}} = \theta_{\nu'+\frac{1}{2}} - \theta_{\nu'-\frac{1}{2}}[2\pi]$$

On obtient donc les mêmes points critiques que pour  $\mathcal{L}_{\mathcal{P}_2}$ .

## 7. MONTÉE DE GRADIENT

**7.1. Gradient de l'aire.** Pour simplifier la discussion, on se place en  $\ell$  tel que  $\mathcal{P}_0(\ell)$  est une variété différentielle et donc ne contient pas de polygones colinéaires. La discussion peut aussi se faire dans le cas général, en excluant les polygones colinéaires, singuliers.

La démonstration du théorème principal fait apparaître un gradient pour la fonctionnelle d'aire sur l'espace  $\mathcal{P}_0(\ell)$ .

En effet, en reprenant l'équation (24), on définit en chaque  $z \in \mathcal{P}_0(\ell)$  une norme euclidienne  $\|\cdot\|_z$  sur  $\mathcal{T}_z$ , et donc un produit scalaire  $(\cdot | \cdot)_z$  sur  $\mathcal{T}_z$ , ce qui définit une structure Riemannienne sur  $\mathcal{P}_0(\ell)$ .

Détaillons un peu ce point : Notons, pour alléger,  $J = -J_\alpha + C$ .  $J : \mathbb{C}^S \rightarrow \mathbb{C}^S$ . On a  $\mathcal{T}_z = J(\mathcal{S}_z)$ .

Notons  $\tilde{J} : \text{Ker}(J)^\perp \cap \mathcal{S}_z \rightarrow \mathcal{T}_z$ , la restriction de  $J$ .  $\tilde{J}$  est un isomorphisme de  $\mathbb{R}$ -espaces vectoriels.

Si  $w \in \mathcal{T}_z$ ,  $s \in \mathcal{S}_z$  tel que  $J.s = w$  et  $\tilde{s} \in \text{Ker}(J)^\perp \cap \mathcal{S}_z$ ,  $\tilde{s} = \tilde{J}^{-1}.w$  alors  $s - \tilde{s} \in \text{Ker}(J) \cap \mathcal{S}_z$  et, par orthogonalité,

$$\|s\| = \sqrt{\|\tilde{s}\|^2 + \|s - \tilde{s}\|^2} \geq \|\tilde{s}\|$$

En résumé,

$$\|w\|_z = \inf\{\|s\|, s \in \mathcal{S}_z, w = (-J_\alpha + C).s\} = \|\tilde{s}\| = \|\tilde{J}^{-1}w\|$$

Le produit scalaire  $(\cdot | \cdot)_z$  est donc défini sur  $\mathcal{T}_z$  par la formule

$$\forall w, w' \in \mathcal{T}_z, (w | w')_z = (\tilde{J}^{-1}w | \tilde{J}^{-1}w') = (w | (\tilde{J}.\tilde{J}^*)^{-1}w')$$

où  $\tilde{J}^*$  est l'adjoint de  $\tilde{J}$  lorsque espaces de départ et d'arrivée sont munis du produit scalaire usuel.

Un instant de réflexion montre que,

$$\forall w \in \mathcal{T}_z, \tilde{J}.\tilde{J}^*.w = J.J^*.w$$

Si  $w = J.s$  avec  $s \in \mathcal{S}_z$  et  $w' = J.s'$  avec  $s' \in \mathcal{S}_z \cap (\text{Ker}(J))^\perp$ , alors, du fait que  $(\tilde{J}^{-1}.J.s - s | s') = 0$ ,

$$(w | w')_z = (J.s | J.s')_z (\tilde{J}^{-1}.J.s | \tilde{J}^{-1}.J.s') = (\tilde{J}^{-1}.J.s | s') = (s | s')$$

De cette dernière formule, il vient que, en posant

$$(27) \quad \nabla_z A = (-J_\alpha + C).a_z,$$

où  $a_z$  est défini en (23), alors  $\nabla_z A \in \mathcal{T}_z$  et on a, en reprenant (22) et (23),

$$\forall w \in \mathcal{T}_z, (\nabla_z A | w)_z = d_z A.w$$

Ceci montre que  $\nabla_z A$  est le gradient de l'aire restreinte à la variété riemannienne  $\mathcal{P}_0(\ell)$ .

On présente en **Figure 2** le gradient calculé numériquement par la méthode du paragraphe 7.3.

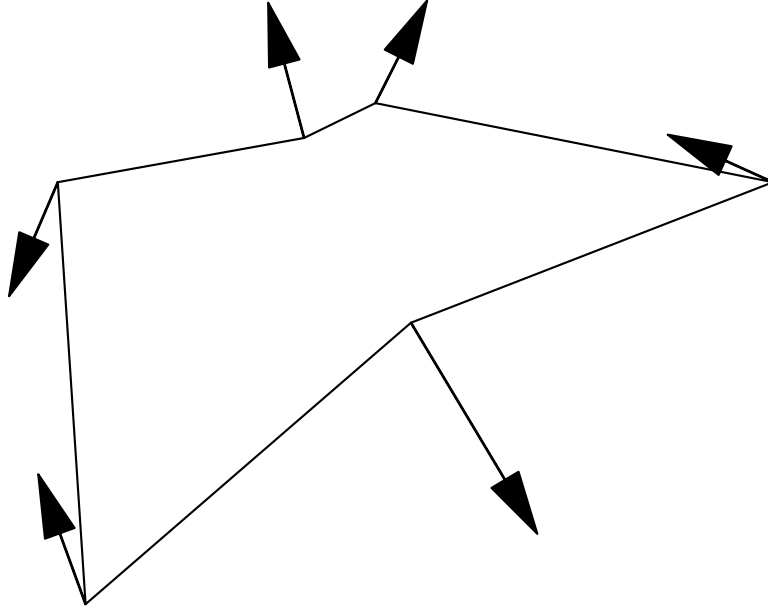


FIGURE 2. Un polygone à 6 côtés et le gradient de l'aire à côtés imposés

**7.2. Formules explicites pour  $I$  et  $K$ .** Posons<sup>14</sup> pour  $t \in ]0, N[$   $B(t) = \frac{N-2t}{2N}$ ,  $B(0) = 0$  et étendons  $B$  à  $\mathbb{R}$  par  $N$  périodicité.  $B$  est une fonction impaire. De la sorte, si  $k \in \mathbb{Z}/N.\mathbb{Z}$  ou  $\kappa \in \frac{1}{2} + \mathbb{Z}/N.\mathbb{Z}$ ,  $B(k)$  et  $B(\kappa)$  sont bien définis. Remarquons

14. La fonction  $B$  ainsi définie est une variante du premier polynôme de BERNOULLI. Les formules sont en analogie avec les faits suivants bien connus. Soit  $E = \mathcal{C}^\infty(\mathbb{R}) \cap \{f : f \text{ est 1-périodique et } \int_0^1 f(x) dx = 0\}$ ,  $D : E \rightarrow E$ , l'opérateur de dérivation est un isomorphisme de réciproque  $I : E \rightarrow E$  défini par

$$\forall f \in E, \forall x \in \mathbb{R}, I(f)(x) = \int_0^1 B(y)f(x-y) dy$$

où  $B$  est la fonction 1 périodique sur  $\mathbb{R}$  définie par  $B(0) = 0$  et  $\forall t \in ]0, 1[$ ,  $B(t) = \frac{1}{2} - t$ .

que si  $t \in ]\frac{1}{2}, N - \frac{1}{2}[$ ,

$$B(t - \frac{1}{2}) - B(t + \frac{1}{2}) = \frac{1}{N}, B(t - \frac{1}{2}) + B(t + \frac{1}{2}) = B(t),$$

alors que pour  $t = 0$ ,

$$B(t - \frac{1}{2}) - B(t + \frac{1}{2}) = \frac{1}{N} - 1, B(t - \frac{1}{2}) + B(t + \frac{1}{2}) = B(t) = 0,$$

De ceci, on déduit

**Lemme 6.** Pour  $z \in \mathbb{C}^S$ ,  $\zeta \in \mathbb{C}^\Sigma$ ,  $n \in S$ ,  $\nu \in \Sigma$ , on a

$$(28) \quad (I.z)_\nu = \sum_{\kappa \in \frac{1}{2} + \mathbb{Z}/N.\mathbb{Z}} B(\kappa) z_{\nu-\kappa}, (I.\zeta)_n = \sum_{\kappa \in \frac{1}{2} + \mathbb{Z}/N.\mathbb{Z}} B(\kappa) \zeta_{n-\kappa}.$$

$$(29) \quad (K.z)_n = \sum_{k \in \mathbb{Z}/N.\mathbb{Z}} B(k) z_{n-k}, (K.\zeta)_\nu = \sum_{k \in \mathbb{Z}/N.\mathbb{Z}} B(k) \zeta_{\nu-k}.$$

**7.3. Numerics.** Le numéricien qui sommeille en beaucoup d'entre nous ne peut que tenter d'implémenter un algorithme de montée de gradient. Il s'agit de considérer l'équation différentielle

$$(30) \quad \frac{dz}{dt} = \nabla_z A$$

Comme  $\mathcal{P}_0(\ell)$  est une variété riemannienne compacte, pour toute donnée initiale  $z_0$ , le problème de CAUCHY associé à (30) et à la donnée initiale  $z(0) = z_0$  admet une unique solution  $z$  sur  $\mathbb{R}$ . Les limites de  $z$  en  $\pm\infty$  existent et sont des points critiques de l'aire  $A$  restreinte à  $\mathcal{P}_0(\ell)$ .

Le long d'une trajectoire  $z$ , l'aire est croissante.

On peut implémenter rapidement un schéma d'EULER visant à maximiser l'aire. Une difficulté non négligeable est que la discrétisation naïve ne conserve pas les longueurs imposées.

Par convexité de chacun des ensembles  $\{z \in \mathbb{C}_0^S, L_\nu^2(z) \leq \ell_\nu^2\}$ , à chaque étape, toutes les longueurs  $L_\nu$  augmentent. Le travail numérique nécessite la prise en considération de ce phénomène ; la solution adoptée pour la petite simulation présentée en [Figure 3](#) et [Figure 4](#) est de reprojeter à chaque étape sur  $\mathcal{P}_0(\ell)$  via une méthode de NEWTON.

Le schéma numérique se traduit donc ainsi : Etant donné un pas de temps  $dt$ , une tolérance  $\epsilon$ , partant d'un polygone  $Z_0 \in \mathbb{C}_0^S$ ,  $(\ell_\nu^2)_\nu = (L_\nu^2(Z_0))_\nu$ , on construit par récurrence la suite  $(Z_k)_{k \in \mathbb{N}}$  par, à chaque pas  $k \in \mathbb{N}$ ,

— une étape EULER

$$Z'_{k+1} = Z_k + dt \cdot \nabla_{Z_k} A$$

D'un point de vue très pratique, pour calculer  $\nabla_z A$ , étant donné un polygone  $z$ , on calcule d'abord le vecteur  $\alpha$  défini par la formule (17), puis  $\tilde{a}_z$  et  $a_z$  en utilisant les formules (25) et (26) et enfin  $\nabla_z A = (-J_\alpha + C) \cdot a_z$  en utilisant la définition (16) de  $J_\alpha$  ainsi que la formule (28) pour  $I$ .

— suivie d'une étape NEWTON, *i.e.* une variation multidimensionnelle de la méthode de Babylone pour l'extraction de racines carrées.

$$W_0 = Z'_{k+1}, \forall p \in \mathbb{N}, W_{p+1} = \frac{1}{2} \cdot \left( W_p + I \cdot \left[ \left[ \left( \frac{\ell_\nu^2}{L_\nu^2(W_p)} \right)_\nu \right] \right] \cdot D \cdot W_p \right)$$

puis

$$Z_{k+1} = W_p$$

de sorte que  $(\ell_\nu^2)_\nu$  et  $(L_\nu^2(Z_{k+1}))_\nu$  soient  $\epsilon$ -proches.

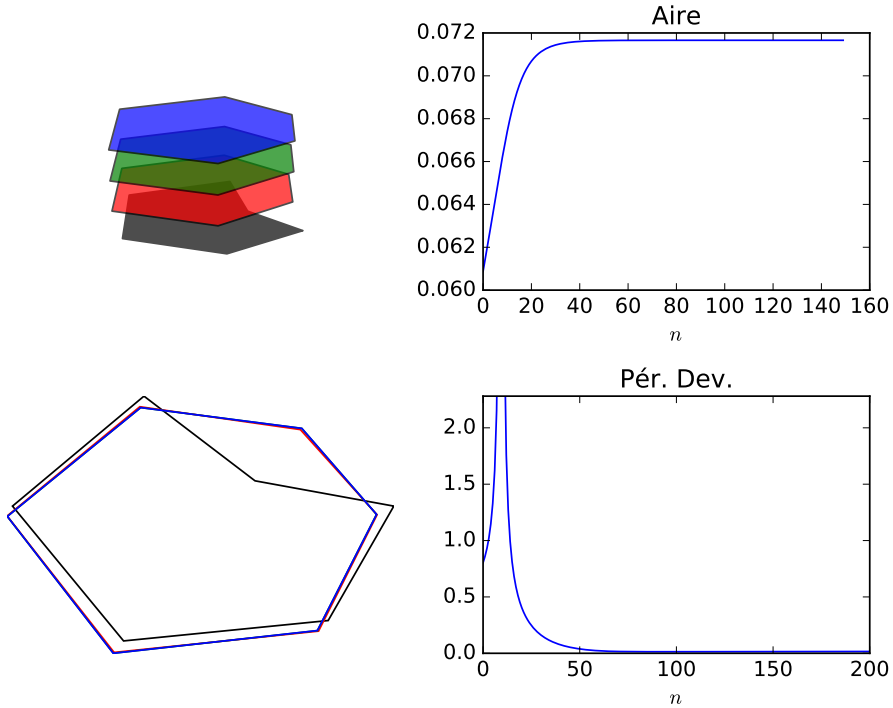


FIGURE 3. Evolution d'un polygone à 6 côtés, de son aire, du périmètre du polygone développé—c'est le polygone des centres des cercles circonscrits à 3 points consécutifs. On donne les vues dans le plan et, en 3D, dans des plans distincts, des polygones en début,  $\frac{1}{3}$ ,  $\frac{2}{3}$  et fin de l'évolution

## 8. INDICES ET DÉNOMBREMENT

**8.1. Indices.** L'expérience résumée en [Figure 4](#) soulève au moins une question immédiate : l'aire augmente, comme prévu, mais le graphe du périmètre du polygone développé, *i.e.* le polygone  $(o_n)_{n \in S}$  où  $o_n$  est le centre du cercle circonscrit aux points  $z_{n-1}, z_n$  et  $z_{n+1}$  présente un certain nombre de pics.

La longueur infinie de ce polygone marque le fait que l'un des  $o_n$  est rejeté à l'infini, *i.e.* la présence d'un triplet  $z_{n-1}, z_n$  et  $z_{n+1}$  de sommets consécutifs alignés, alors qu'une longueur nulle marque un polygone  $(z_n)$  cocyclique.

Un pic marque donc un phénomène de « dépliement » au niveau d'un sommet, le passage d'un angle au sommet de part et d'autre de l'angle plat alors qu'un minimum marque l'approche d'un polygone cocyclique.

On en déduit que lors de l'évolution présentée en [Figure 4](#), le polygone s'est approché, dans une direction d'aire croissante, d'un polygone cocyclique, critique, pour s'en éloigner ensuite.

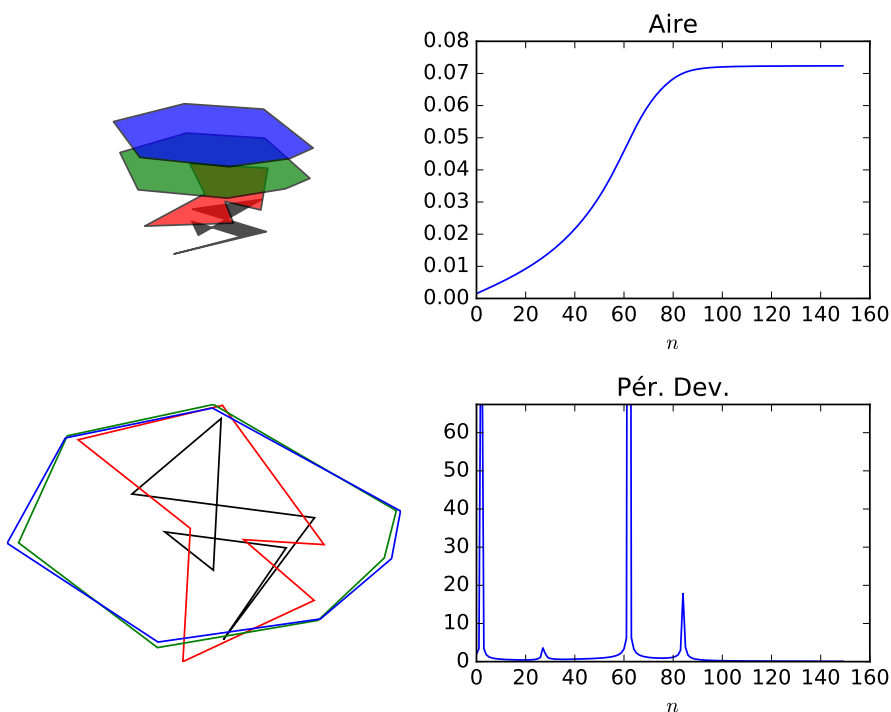


FIGURE 4. Evolution d'un polygone à 7 côtés, de son aire, du périmètre du polygone développé

Il s'agit d'une manifestation du comportement des trajectoires de l'équation différentielle (30) au voisinage d'un point critique de  $A$ . Ce comportement est, au premier abord, déterminé par les valeurs propres de la différentielle de  $\nabla_z A$ , autrement dit, la signature de la Hessienne de  $A$  restreinte à  $\mathcal{P}_0(\ell)$ .

Ceci, entre autres considérations, pose la question du caractère non dégénéré<sup>15</sup> des points critiques de  $A$  ainsi que celle de la détermination de leur indice, *i.e.* le nombre de valeurs propres négatives de la Hessienne.

Ce travail a été mené dans le cas générique par PANINA et ZHUKOVA dans [PZ11] et [Zhu13]. Pour schématiser le résultat principal de [Zhu13], Théorème 3.1, on peut dire que, pour un  $\Sigma$ -uple  $\ell$  générique

- (1) Un point critique  $z$  de  $A$  est non dégénéré.
- (2) L'indice de MORSE  $m(z)$ , de  $A$  en  $z$ , se calcule effectivement à l'aide de la géométrie de  $z$ .

**8.2. Dénombrement.** La théorie de MORSE permet d'estimer inférieurement le nombre de points critiques d'une fonction<sup>16</sup> sur une variété connaissant la topologie

15. On remarque que, du fait de l'action diagonale de  $S^1$  sur  $\mathcal{P}_0(\ell)$  et de l'invariance de  $A$  sous cette action, les points critiques de  $A$  sont dégénérés au sens usuel. Cette question est donc à considérer modulo cette invariance, ce qui revient à travailler avec l'espace  $\mathcal{M}(\ell)$ .

16. dont les points critiques sont non dégénérés

de la variété. Les informations nécessaires—les nombres de BETTI de  $\mathcal{M}(\ell)$ — sont calculés par FARBER et SCHÜTZ dans [FS07].

Le nombre de points critiques (et donc le nombre de configurations cocycliques) dans  $\mathcal{M}(\ell)$  est minoré par la somme des nombres de BETTI de  $\mathcal{M}(\ell)$ , qui, d'après, [FS07], Theorem 2, est inférieure à  $2^{N-1} - \binom{N-1}{p}$  où, suivant la parité,  $N = 2p+1$  ou  $N = 2p+2$ . Cette somme dépend uniquement de propriétés combinatoires du vecteur  $\ell = (\ell_\nu) \in \mathbb{R}^\Sigma$  et peut se calculer dans des cas particuliers.

Un autre angle d'attaque pour tenter de dénombrer le nombre de configurations cocycliques est de remarquer qu'il existe des généralisations des formules de HERON et de BRAHMAGUPTA, donnant respectivement l'aire d'un triangle et d'un quadrilatère en fonction des longueurs des côtés.

Plus précisément, *c.f.* [Pak05], [MRR05], pour tout  $N \geq 3$ , il existe un polynôme<sup>17</sup> homogène en  $N+1$  variables,  $\alpha_N$ , à coefficients entiers, unitaire en sa première variable, symétrique en les  $N$  dernières variables, tel que, pour tout  $N$ -gone cocyclique, d'aire  $A$ , de longueur de côtés  $\ell = (\ell_\nu)$ ,

$$\alpha_N(16A^2, (\ell_\nu^2)_{\nu \in \Sigma}) = 0$$

D'après [MRR05],  $\alpha_N$  est, en  $16A^2$ , de degré  $\Delta_N = \frac{N}{2} \binom{N-1}{p} - 2^{N-2}$  où, suivant la parité,  $N = 2p+1$  ou  $N = 2p+2$ .

Dans les exemples  $N = 3$  et  $N = 4$ ,

- La formule de HERON donne l'aire d'un triangle  $abc$  en fonction des longueurs des côtés  $\ell_\alpha, \ell_\beta, \ell_\gamma$

$$A = \sqrt{p(p-\ell_\alpha)(p-\ell_\beta)(p-\ell_\gamma)} \text{ où } p = \frac{1}{2}(\ell_\alpha + \ell_\beta + \ell_\gamma)$$

On peut réécrire cette formule pour tenir aussi compte du cas du triangle orienté négativement sous la forme d'une relation polynomiale liant  $A^2$ ,  $\ell_\alpha^2$ ,  $\ell_\beta^2$  et  $\ell_\gamma^2$  :

$$16A^2 - 2(\ell_\alpha^2 \ell_\beta^2 + \ell_\beta^2 \ell_\gamma^2 + \ell_\gamma^2 \ell_\alpha^2) + \ell_\alpha^4 + \ell_\beta^4 + \ell_\gamma^4 = 0$$

- Pour un quadrilatère convexe cocyclique de longueurs des côtés  $\ell_\alpha, \ell_\beta, \ell_\gamma$  et  $\ell_\delta$ , on dispose de la formule de BRAHMAGUPTA,

$$A = \sqrt{(p-\ell_\alpha)(p-\ell_\beta)(p-\ell_\gamma)(p-\ell_\delta)} \text{ où } p = \frac{1}{2}(\ell_\alpha + \ell_\beta + \ell_\gamma + \ell_\delta),$$

ce qui se réécrit

$$(16A^2 - (\ell_\alpha^2 + \ell_\beta^2 + \ell_\gamma^2 + \ell_\delta^2)^2 + 2(\ell_\alpha^4 + \ell_\beta^4 + \ell_\gamma^4 + \ell_\delta^4))^2 - 64\ell_\alpha^2 \ell_\beta^2 \ell_\gamma^2 \ell_\delta^2 = 0$$

Cette formule couvre tous les cas possibles de quadrilatères dans  $\mathcal{M}(\ell)$  en tenant compte de la symétrie et de la possibilité de croiser le quadrilatère.

---

17. Ce polynôme s'appelle le polynôme de HERON–ROBBINS. L'existence d'une telle relation polynomiale ne devrait pas être une surprise attendu que  $A$  est valeur critique d'une fonctionnelle polynomiale sur une variété définie par des polynomes en les longueurs des côtés, il serait intéressant de voir si la théorie de l'élimination effectivement et informatiquement appliquée à l'obtention de la valeur de  $A$  en les points critiques du lagrangien  $\mathcal{L}$  donne des formules pour  $\alpha_N$ , par exemple pour  $N = 10$ . Dans ce cas  $\Delta_N = 374$ .

Il existe par ailleurs, d'après [MRR05], des exemples où un vecteur de longueurs de côté  $\ell = (\ell_\nu)$  donne lieu à  $\Delta_N$  carrés d'aires distinctes de  $N$ -gones cocycliques. De notre point de vue, cela signifie que sur  $\mathcal{M}(\ell)$ ,  $A$  prend  $2\Delta_N$  valeurs distinctes et donc qu'il y a au moins  $2\Delta_N$  configurations cocycliques distinctes dans  $\mathcal{M}(\ell)$ .

### 9. COMPLÉMENT : SOUS-VARIÉTÉS ALGÈBRIQUES, CALCUL DIFFÉRENTIEL RÉEL DANS $\mathbb{C}^S$

Une sous-variété algébrique réelle  $\mathcal{P}$  de  $\mathbb{C}^S \simeq \mathbb{R}^{2N}$  est une partie de  $\mathbb{C}^S \simeq \mathbb{R}^{2N}$  définie par un système de  $p$  équations cartésiennes polynomiales réelles en  $2N$  indéterminées.

L'espace tangent, noté  $\mathcal{T}_z$ , à  $\mathcal{P}$  en un point  $z$  de  $\mathcal{P}$  est l'intersection des noyaux des différentielles en  $z$  des  $p$  polynômes définissants. Il s'agit d'un  $\mathbb{R}$ -sous-espace vectoriel de  $\mathbb{C}^S$ .

Pour être de plus une sous-variété *différentielle* (de dimension  $2N - p$ ) au voisinage d'un de ses points  $z$ , il suffit de demander que, par ailleurs, les différentielles en  $z$  des  $p$  polynômes définissants forment une famille libre, *i.e.* que  $\dim_{\mathbb{R}} \mathcal{T}_z = 2N - p$ .

Le théorème des fonctions implicites implique alors qu'au voisinage de  $z$ , quitte à renuméroter les axes, dans un parallépipède ouvert  $P_z$ , centré en  $z$ ,  $\mathcal{P}$  est le graphe d'une fonction  $f_z : \mathbb{R}^{2N-p} \rightarrow \mathbb{R}^p$  de classe  $\mathcal{C}^\infty$ , *i.e.*

$$\mathcal{P} \cap P_z = \{(u, f_z(u)), u \in \mathbb{R}^{2N-p}\} \cap P_z$$

et donne la paramétrisation de  $\mathcal{T}_z$  en graphe d'application  $\mathbb{R}$ -linéaire

$$\mathcal{T}_z = \{(h, (d_z f_z).h), h \in \mathbb{R}^{2N-p}\}$$

Un point  $z$  de  $\mathcal{P}$  est dit *régulier* s'il vérifie  $\dim_{\mathbb{R}} \mathcal{T}_z = 2N - p$ , *singulier* sinon. Illustrons ces faits par un exemple très élémentaire.

Considérons dans  $\mathbb{C} = \mathbb{C}^1 \simeq \mathbb{R}^2$ , et donc  $N = 1$ , la partie

$$\mathcal{P} = \{z \in \mathbb{C}, \frac{1}{2}\text{Im}(z^2) = 0\} \simeq \{(x, y) \in \mathbb{R}^2, xy = 0\}.$$

Il s'agit de la réunion des deux axes de coordonnées de  $\mathbb{R}^2$ . C'est une sous-variété algébrique réelle de  $\mathbb{C}$  contenant le point  $z_0 = 0$  définie par un ( $p = 1$ ) seul polynôme définissant  $P(z) = \frac{1}{2}\text{Im}(z^2) = xy$

On a

$$d_{z_0} P = y_0 dx + x_0 dy = 0$$

et donc

$$\mathcal{T}_0 = \mathbb{R}^2, \dim_{\mathbb{R}} \mathcal{T}_0 = 2 > 2N - p = 1$$

Le point  $z_0 = (x_0, y_0)$  est donc un point singulier de  $\mathcal{P}$  et le dessin montre qu'au moins en un sens naïf, la figure tangente à  $\mathcal{P}$  en ce point n'est certainement pas une droite.

Pour tout  $z \in \mathcal{P}$ ,  $z \neq z_0$ ,  $d_z P$  est une forme linéaire non nulle sur  $\mathbb{R}^2$  et donc  $\dim_{\mathbb{R}} \mathcal{T}_z = 1 = 2N - p$ . Un tel  $z$  est donc un point régulier de  $\mathcal{P}$ .

Le calcul des différentielles peut-être mené directement en nombres complexes, sans avoir à repasser par les coordonnées réelles. Rappelons comment ce mécanisme fonctionne : Avec le choix  $S = \{0, \dots, N-1\}$  de réalisation de  $S$ , l'isomorphisme naturel entre  $\mathbb{C}^S$  et  $\mathbb{R}^{2N}$  associe à tout  $N$ -uplet  $z = (z_n)_{n \in S}$  le  $2N$ -uplet de nombres réels  $((x_n, y_n))_{n \in \{0, \dots, N-1\}} = (x_0, y_0, x_1, y_1, \dots)$  où, pour tout  $n$ ,  $z_n = x_n + iy_n$ .

Si  $f : \mathbb{C}^S \simeq \mathbb{R}^{2N} \rightarrow \mathbb{C}$  est une fonction différentiable, et  $z \in \mathbb{C}^S$ , la différentielle de  $f$  en  $z$  est l'application  $\mathbb{R}$ -linéaire,  $d_z f : \mathbb{C}^S \rightarrow \mathbb{C}$  vérifiant

$$d_z f = \sum_n \frac{\partial f}{\partial x_n}(z) d_z x_n + \sum_n \frac{\partial f}{\partial y_n}(z) d_z y_n$$

où  $d_z x_n : \mathbb{C}^S \rightarrow \mathbb{C}$ , resp.  $d_z y_n : \mathbb{C}^S \rightarrow \mathbb{C}$ , sont définies par

$$\forall t \in \mathbb{C}^S, (d_z x_n).t = \operatorname{Re}(t_n), \text{ resp. } (d_z y_n).t = \operatorname{Im}(t_n),$$

Ces applications  $\mathbb{R}$ -linéaires ne dépendent <sup>18</sup> pas de  $z$  et forment une base du  $\mathbb{R}$ -espace vectoriel  $\mathcal{L}(\mathbb{C}^S, \mathbb{C})$ .

En appliquant ce qui vient d'être dit aux fonctions « coordonnées complexes »  $z_n : \mathbb{C}^S \rightarrow \mathbb{C}$ , resp.  $\bar{z}_n$ , associant à tout vecteur  $z \in \mathbb{C}^S$ ,  $z_n$  sa composante d'indice  $n$ , resp. le conjugué de celle-ci, on obtient les relations, en  $z \in \mathbb{C}^S$  fixé,

$$\forall n \in \mathbb{C}^S, d_z z_n = dx_n + i.dy_n \text{ et } d_z \bar{z}_n = dx_n - i.dy_n$$

Les applications  $\mathbb{R}$ -linéaires  $d_z z_n$  et  $d_z \bar{z}_n$  ne dépendent pas de  $z$  et forment une base du  $\mathbb{R}$ -espace vectoriel  $\mathcal{L}(\mathbb{C}^S, \mathbb{C})$ . On a

$$\forall n \in \mathbb{S}, dx_n = \frac{1}{2} dz_n + \frac{1}{2} d\bar{z}_n \text{ et } dy_n = \frac{1}{2i} dz_n - \frac{1}{2i} d\bar{z}_n$$

Si  $f : \mathbb{C}^S \simeq \mathbb{R}^{2N} \rightarrow \mathbb{C}$  est une fonction différentiable, et  $z \in \mathbb{C}^S$ , la différentielle de  $f$  en  $z$  se réécrit donc

$$d_z f = \sum_n \frac{1}{2} \left( \frac{\partial f}{\partial x_n}(z) - i \frac{\partial f}{\partial y_n}(z) \right) dz_n + \sum_n \frac{1}{2} \left( \frac{\partial f}{\partial x_n}(z) + i \frac{\partial f}{\partial y_n}(z) \right) d\bar{z}_n$$

On convient de noter

$$\frac{\partial f}{\partial z_n} = \frac{1}{2} \left( \frac{\partial f}{\partial x_n} - i \frac{\partial f}{\partial y_n} \right) \text{ et } \frac{\partial f}{\partial \bar{z}_n} = \frac{1}{2} \left( \frac{\partial f}{\partial x_n} + i \frac{\partial f}{\partial y_n} \right)$$

De façon à obtenir

$$d_z f = \sum_n \frac{\partial f}{\partial z_n}(z) dz_n + \sum_n \frac{\partial f}{\partial \bar{z}_n}(z) d\bar{z}_n$$

Lorsque  $f$  est polynomiale en les variables  $x_n, y_n$ , on peut la réécrire en tant que polynôme en  $z_n, \bar{z}_n$  et les polynômes  $\frac{\partial f}{\partial z_n}$  et  $\frac{\partial f}{\partial \bar{z}_n}$  se calculent en dérivant partiellement « comme si » les variables  $z_n, \bar{z}_n, n \in S$  étaient toutes indépendantes.

A titre d'exemple, considérons la fonction  $f : \mathbb{C}^2 \rightarrow \mathbb{R}$  définie par

$$\forall (z_1, z_2) \in \mathbb{C}^2, f(z_1, z_2) = |z_1|^2 + 2\operatorname{Re}(z_1.z_2) = z_1.\bar{z}_1 + z_1.z_2 + \bar{z}_1.\bar{z}_2$$

On a alors

$$\frac{\partial f}{\partial z_1} = \bar{z}_1 + z_2, \quad \frac{\partial f}{\partial \bar{z}_1} = z_1 + \bar{z}_2, \quad \frac{\partial f}{\partial z_2} = z_1, \quad \frac{\partial f}{\partial \bar{z}_2} = \bar{z}_2$$

et donc

$$d_z f = (\bar{z}_1 + z_2) dz_1 + (z_1 + \bar{z}_2) d\bar{z}_1 + (z_1) dz_2 + (\bar{z}_1) d\bar{z}_2 = 2.\operatorname{Re}((\bar{z}_1 + z_2) dz_1 + (z_1) dz_2)$$

Dans le cas de notre exemple simple de sous-variété algébrique, on a

$$\mathcal{P} = \{z \in \mathbb{C}, \frac{1}{2} \operatorname{Im}(z^2) = 0\},$$

<sup>18</sup>. nous oublions donc l'indiciage par  $z$

on a, pour  $z \in \mathbb{C}^1$ ,  $P(z) = \frac{1}{2}\text{Im}(z^2) = -i\frac{1}{4}z^2 + i\frac{1}{4}\bar{z}^2$  et

$$\frac{\partial f}{\partial z}(z) = -\frac{1}{2}iz, \quad \frac{\partial f}{\partial \bar{z}}(z) = +\frac{1}{2}i\bar{z}$$

d'où

$$d_z P = -\frac{1}{2}iz \cdot dz + \frac{1}{2}i\bar{z} \cdot d\bar{z} = \text{Im}(z \cdot dz)$$

Comme  $P$  est un polynôme réel,  $d_z P$  est une forme linéaire sur le  $\mathbb{R}$ -ev  $\mathbb{C}^1$  et on a,

$$\mathcal{T}_z = \{t \in \mathbb{C}^1, 2\text{Im}(z \cdot t) = 0\}$$

Pour  $z \in \mathcal{P}$  fixé, le  $\mathbb{R}$ -sous espace vectoriel  $\mathcal{T}_z$  de  $\mathbb{C}^1$  est de dimension 1 si  $z \neq 0$  (points réguliers de  $\mathcal{P}$ ), de dimension 2 si  $z = 0$  (le point singulier).

## 10. QUELQUES PREUVES DE LEMMES

### 10.1. Démonstration du lemme 2.

(1) Montrons que  $D = -D^*$ . On considère dans cette égalité  $D : \mathbb{C}^S \rightarrow \mathbb{C}^\Sigma$  définie par

$$\forall z \in \mathbb{C}^S, \forall \nu \in \Sigma, (D \cdot z)_\nu = z_{\nu+\frac{1}{2}} - z_{\nu-\frac{1}{2}}$$

et donc  $D^* : \mathbb{C}^\Sigma \rightarrow \mathbb{C}^S$  et  $D : \mathbb{C}^\Sigma \rightarrow \mathbb{C}^S$  définie par

$$\forall \zeta \in \mathbb{C}^\Sigma, \forall n \in S, (D \cdot \zeta)_n = \zeta_{n+\frac{1}{2}} - \zeta_{n-\frac{1}{2}}$$

Les applications  $D$ ,  $D^*$  et  $D$  sont  $\mathbb{C}$ -linéaires.

Soit  $\zeta \in \mathbb{C}^\Sigma$ ,  $D^* \cdot \zeta$  est caractérisé dans  $\mathbb{C}^S$  par le fait que

$$\forall z \in \mathbb{C}^S, \langle D^* \cdot \zeta | z \rangle = \langle \zeta | D \cdot z \rangle$$

Soit  $z \in \mathbb{C}^S$ . On a

$$\begin{aligned} \langle D^* \cdot \zeta | z \rangle &= \langle \zeta | D \cdot z \rangle \\ &= \sum_{\nu \in \Sigma} \zeta_\nu \cdot \overline{z_{\nu+\frac{1}{2}} - z_{\nu-\frac{1}{2}}} \\ &= \sum_{\nu \in \Sigma} \zeta_\nu \cdot \bar{z}_{\nu+\frac{1}{2}} - \sum_{\nu \in \Sigma} \zeta_\nu \cdot \bar{z}_{\nu-\frac{1}{2}} \\ &= \sum_{n \in S} \zeta_{n-\frac{1}{2}} \cdot \bar{z}_n - \sum_{n \in S} \zeta_{n+\frac{1}{2}} \cdot \bar{z}_n. \end{aligned}$$

On a fait deux changements d'indices de sommation en posant respectivement  $n = \nu + \frac{1}{2}$  dans la première somme et  $n = \nu - \frac{1}{2}$  dans la deuxième somme.

Finalement on a

$$\langle D^* \cdot \zeta | z \rangle = \sum_{n \in S} (\zeta_{n-\frac{1}{2}} - \zeta_{n+\frac{1}{2}}) \cdot \bar{z}_n = -\langle D \cdot \zeta | z \rangle$$

et donc  $D^* = -D$ .

Le même type de calculs donne que  $M^* = M$ , toujours avec ce jeu du typage basé sur la considération des espaces d'arrivée et de départ.

(2) On a, par définition, pour  $z \in \mathbb{C}^S$ ,

$$\pi_0 \cdot z = z - \frac{1}{N} \langle z | \mathbb{1} \rangle \mathbb{1}$$

et donc  $\pi_0 \cdot \mathbb{1} = 0$ . Comme  $D \cdot \mathbb{1} = 0$ , il vient, pour  $z \in \mathbb{C}^S$ ,

$$D \cdot \pi_0 \cdot z = D \cdot z - \frac{1}{N} \langle z | \mathbb{1} \rangle D \cdot \mathbb{1} = D \cdot z$$

et, comme, pour  $\zeta \in \mathbb{C}^\Sigma$ ,

$$\pi_0.\zeta = \zeta - \frac{1}{N} \langle \zeta | \mathbb{1} \rangle \mathbb{1}$$

alors, en utilisant le fait que  $D^* = -D$ ,

$$pi_0.D.z = D.z - \frac{1}{N} \langle D.z | \mathbb{1} \rangle \mathbb{1} = D.z + \frac{1}{N} \langle z | D.\mathbb{1} \rangle \mathbb{1} = D.z.$$

En résumé

$$\forall z \in \mathbb{C}^S, \pi_0.D.z = D.\pi_0.z = D.z,$$

ce qui est ce que l'on cherche.

(3) De la même manière, on a  $M.\mathbb{1} = \mathbb{1}$  et donc, pour  $z \in \mathbb{C}^S$ ,

$$\pi_0.M.z = M.z - \frac{1}{N} \langle M.z | \mathbb{1} \rangle \mathbb{1} = M.z - \frac{1}{N} \langle z | M.\mathbb{1} \rangle \mathbb{1} = M.z - \frac{1}{N} \langle z | \mathbb{1} \rangle \mathbb{1},$$

$$M.\pi_0.z = M.z - \frac{1}{N} \langle z | \mathbb{1} \rangle M.\mathbb{1} = M.z - \frac{1}{N} \langle z | \mathbb{1} \rangle \mathbb{1}$$

et donc

$$\pi_0.M.z = M.\pi_0.z,$$

ce qui est annoncé.

(4) Soit  $z \in \mathbb{C}^S$ , on a, pour  $\nu \in \Sigma$ ,

$$(D.z)_\nu = z_{\nu+\frac{1}{2}} - z_{\nu-\frac{1}{2}} \text{ et } (M.z)_\nu = \frac{1}{2}(z_{\nu+\frac{1}{2}} + z_{\nu-\frac{1}{2}})$$

et donc, pour  $n \in S$ ,

$$\begin{aligned} (M.D.z)_n &= \frac{1}{2} ((D.z)_{n+\frac{1}{2}} + (D.z)_{n-\frac{1}{2}}) \\ &= \frac{1}{2} ((z_{(n+\frac{1}{2})+\frac{1}{2}} - z_{(n+\frac{1}{2})-\frac{1}{2}}) + (z_{(n-\frac{1}{2})+\frac{1}{2}} - z_{(n-\frac{1}{2})-\frac{1}{2}})) = \frac{1}{2} (z_{n+1} - z_{n-1}) \end{aligned}$$

et

$$\begin{aligned} (D.M.z)_n &= (M.z)_{n+\frac{1}{2}} - (M.z)_{n-\frac{1}{2}} \\ &= \frac{1}{2} ((z_{(n+\frac{1}{2})+\frac{1}{2}} + z_{(n+\frac{1}{2})-\frac{1}{2}}) - (z_{(n-\frac{1}{2})+\frac{1}{2}} + z_{(n-\frac{1}{2})-\frac{1}{2}})) = \frac{1}{2} (z_{n+1} - z_{n-1}) \end{aligned}$$

et donc  $M.D.z = D.M.z$  avec a formule annoncée.

(5) (Formule de LEIBNIZ). Supposons  $\alpha \in \mathbb{C}^S$ . On a, pour  $z \in \mathbb{C}^S$ , pour  $n \in S$ ,

$$([\alpha].z)_n = \alpha_n.z_n,$$

et donc, pour  $\nu \in \Sigma$ , d'une part

$$(M.([\alpha].z))_\nu = \frac{1}{2} (\alpha_{\nu+\frac{1}{2}}.z_{\nu+\frac{1}{2}} + \alpha_{\nu-\frac{1}{2}}.z_{\nu-\frac{1}{2}}),$$

et d'autre part

$$\begin{aligned} ([M.\alpha].D.z)_\nu &= (M.\alpha)_\nu.(z_{\nu+\frac{1}{2}} - z_{\nu-\frac{1}{2}}) = \frac{1}{2}.(\alpha_{\nu+\frac{1}{2}} + \alpha_{\nu-\frac{1}{2}}).(z_{\nu+\frac{1}{2}} - z_{\nu-\frac{1}{2}}) \\ ([D.\alpha].M.z)_\nu &= \frac{1}{2}(D.\alpha)_\nu.(z_{\nu+\frac{1}{2}} + z_{\nu-\frac{1}{2}}) = \frac{1}{2}.(\alpha_{\nu+\frac{1}{2}} - \alpha_{\nu-\frac{1}{2}}).(z_{\nu+\frac{1}{2}} + z_{\nu-\frac{1}{2}}) \\ ([M.\alpha].D.z)_\nu + ([D.\alpha].M.z)_\nu &= \frac{1}{2} (\alpha_{\nu+\frac{1}{2}}.z_{\nu+\frac{1}{2}} + \alpha_{\nu-\frac{1}{2}}.z_{\nu-\frac{1}{2}}) \end{aligned}$$

et donc, pour  $z \in \mathbb{C}^S$ ,  $\nu \in \Sigma$ ,

$$([M.\alpha].D.z)_\nu + ([D.\alpha].M.z)_\nu = (M.[\alpha].z)_\nu$$

*i.e.*

$$[M.\alpha].D.z + [D.\alpha].M.z = M.[\alpha].z$$

*i.e.*

$$[M.\alpha].D + [D.\alpha].M = M.[\alpha]$$

### 10.2. Démonstration du lemme 3.

- (1) Soit  $\zeta \in \mathbb{C}^\Sigma$ ,  $I^*.\zeta$  est caractérisé dans  $\mathbb{C}^S$  par le fait que

$$\forall z \in \mathbb{C}^S, \langle I^*.\zeta | z \rangle = \langle \zeta | I.z \rangle$$

Soit  $z \in \mathbb{C}^S$ . On a

$$\langle I^*.\zeta | z \rangle = \langle \zeta | I.z \rangle.$$

Maintenant,  $z = \pi_0.z + \frac{1}{N} \langle z | \mathbb{1} \rangle . \mathbb{1}$  et, il existe (un unique)  $\chi \in \mathbb{C}_0^\Sigma$  tel que  $\pi_0.z = D.\chi$ . On a donc

$$I.z = \chi$$

De façon symétrique, il existe (un unique)  $w \in \mathbb{C}_0^S$ ,  $w = I.\zeta$ , tel que  $\pi_0.\zeta = D.w$  et donc

$$\begin{aligned} \langle I^*.\zeta | z \rangle &= \langle \zeta | \chi \rangle \\ &= \langle D.w | \chi \rangle + \frac{1}{N} \langle \zeta | \mathbb{1} \rangle \underbrace{\langle \mathbb{1} | \chi \rangle}_{=0} \\ &= \langle w | D^*.\chi \rangle = -\langle w | D.\chi \rangle \\ &= -\langle I.\zeta | \pi_0.z \rangle = -\langle I.\zeta | z \rangle. \end{aligned}$$

On a donc  $I^* = -I$ . La relation  $K^* = -K$  est due au fait que

$$K^* = (M.I)^* = (I.M)^* = M^*.I^* = -M.I = -K^*$$

- (2) Par définition,  $I$  et  $D$  sont inverses sur  $\mathbb{1}^\perp$  et s'annulent sur  $\text{Vect}\{\mathbb{1}\}$ . On a donc  $I.D = D.I = \pi_0$  car  $\pi_0$  est l'identité sur  $\mathbb{1}^\perp$  et s'annule sur le supplémentaire  $\text{Vect}\{\mathbb{1}\}$ .
- (3) En composant par  $I$  à droite la formule de LEIBNIZ, on obtient

$$D.[\alpha].I = [M.\alpha].D.I + [D.\alpha].MI$$

et donc

$$D.[\alpha].I = [M.\alpha].\pi_0 + [D.\alpha].K$$

- (4) En passant à l'adjoint cette dernière identité, il vient

$$(-I).[ \bar{\alpha} ].(-D) = \pi_0.[M.\bar{\alpha}] + (-K).[D.\bar{\alpha}]$$

et donc, quitte à substituer,  $\alpha$  à  $\bar{\alpha}$

$$I.[\alpha].D = \pi_0.[M.\alpha] - K.[D.\alpha]$$

**10.3. Démonstration du lemme 4.** Soient  $n$  et  $p$  deux entiers naturels et soit  $A$  une matrice à coefficients complexes<sup>19</sup>,  $p$  lignes,  $n$  colonnes. On considère les ensembles suivants

$$\begin{aligned}\mathcal{T} &= \{T \in \mathbb{C}^n, A.T + \overline{A}.\overline{T} = 0\}, \\ \mathcal{T}_0 &= \{(T, S) \in \mathbb{C}^n \times \mathbb{C}^n, A.T + \overline{A}.S = 0\}, \\ \mathcal{T}_R &= \{(T, S) \in \mathbb{C}^n \times \mathbb{C}^n, A.T + \overline{A}.S = 0, T = \overline{S}\}, \\ \mathcal{T}_I &= \{(T, S) \in \mathbb{C}^n \times \mathbb{C}^n, A.T + \overline{A}.S = 0, T = -\overline{S}\},\end{aligned}$$

alors

- (1) Il est clair que  $\mathcal{T}_0$  est un  $\mathbb{C}$ -sev de  $\mathbb{C}^n \times \mathbb{C}^n$ , c'est le noyau de l'application  $\mathbb{C}$ -linéaire

$$\begin{aligned}\mathbb{C}^n \times \mathbb{C}^n &\rightarrow \mathbb{C}^p \\ (T, S) &\mapsto A.T + \overline{A}.S\end{aligned}$$

Dans la même ligne de raisonnement, les applications

$$\begin{aligned}\mathbb{C}^n \times \mathbb{C}^n &\rightarrow \mathbb{C}^n & \mathbb{C}^n \times \mathbb{C}^n &\rightarrow \mathbb{C}^n \\ (T, S) &\mapsto T - \overline{S} & \text{et} & (T, S) &\mapsto T + \overline{S}\end{aligned}$$

sont  $\mathbb{R}$ -linéaires (la conjugaison ne permet pas la  $\mathbb{C}$ -linéarité). Les ensembles  $\mathcal{T}_R$ , resp.  $\mathcal{T}_I$ , est intersection du noyau de la première, resp. de la seconde, et du  $\mathbb{R}$ -espace  $\mathcal{T}_0$ .

Finalement,  $\mathcal{T}$  est un  $\mathbb{R}$ -sev de  $\mathbb{C}^n$  en tant que noyau de l'application  $\mathbb{R}$  linéaire

$$\begin{aligned}\mathbb{C}^n &\rightarrow \mathbb{C}^p \\ (T, S) &\mapsto A.T + \overline{A}.\overline{T}\end{aligned}$$

- (2)  $\mathcal{T}_R$  et  $\mathcal{T}_I$  sont des  $\mathbb{R}$ -sous-espaces de  $\mathcal{T}_0$ . Définissons les applications  $\mathbb{R}$ -linéaires  $\pi_{R//I}, \pi_{I//R} : \mathcal{T}_0 \rightarrow \mathbb{C}^n \times \mathbb{C}^n$  par

$$\forall (T, S) \in \mathcal{T}_0 \subset \mathbb{C}^n \times \mathbb{C}^n, \pi_{R//I}(T, S) = \frac{1}{2}(T + \overline{S}, \overline{T} + S), \pi_{I//R}(T, S) = \frac{1}{2}(T - \overline{S}, -\overline{T} + S).$$

En ajoutant et retranchant les équations, valables pour  $(T, S) \in \mathcal{T}_0$ ,

$$A.T + \overline{A}.S = 0 \text{ et } \overline{A}.\overline{T} + A.\overline{S} = 0$$

On obtient que

$$\forall (T, S) \in \mathcal{T}_0, \pi_{R//I}(T, S) \in \mathcal{T}_R \text{ et } \pi_{I//R}(T, S) \in \mathcal{T}_I$$

et par ailleurs, on a clairement  $\mathcal{T}_R \cap \mathcal{T}_I = \{0\}$  et

$$\forall (T, S) \in \mathcal{T}_0, (T, S) = \pi_{R//I}(T, S) + \pi_{I//R}(T, S)$$

Donc  $\mathcal{T}_0 = \mathcal{T}_R \oplus \mathcal{T}_I$ .

- (3) L'application  $\mathcal{T}_R \rightarrow \mathcal{T}_I, (T, S) \mapsto (i.T, i.S)$  est clairement bien définie,  $\mathbb{R}$ -linéaire, bijective : c'est un isomorphisme de  $\mathbb{R}$ -espaces vectoriels.

L'application  $\mathcal{T}_R \rightarrow \mathcal{T}, (T, S) \mapsto T$  est clairement bien définie,  $\mathbb{R}$ -linéaire, bijective : c'est un isomorphisme de  $\mathbb{R}$ -espaces vectoriels.

<sup>19</sup>. Pour une matrice, ou un vecteur  $A$  à coefficients complexes, on note  $\overline{A}$  la matrice ou le vecteur dont les entrées sont les conjuguées des entrées de  $A$ .

- (4) Les  $\mathbb{R}$ -espaces vectoriels  $\mathcal{T}$ ,  $\mathcal{T}_R$  et  $\mathcal{T}_I$  sont tous de même dimension (réelle) et, comme  $\mathcal{T}_0 = \mathcal{T}_R \oplus \mathcal{T}_I$ ,  $\dim_{\mathbb{R}} \mathcal{T}_0 = \dim_{\mathbb{R}} \mathcal{T}_R + \dim_{\mathbb{R}} \mathcal{T}_I = 2 \dim_{\mathbb{R}} \mathcal{T}$ . Du fait que  $\mathcal{T}_0$  est aussi un  $\mathbb{C}$ -espace vectoriel,  $\dim_{\mathbb{R}} \mathcal{T}_0 = 2 \dim_{\mathbb{C}} \mathcal{T}_0$ , ce qui entraîne les égalités annoncées.
- (5) Si  $J$  et  $Q$  sont deux matrices telles que

$$\mathcal{T}_0 = \{(T, S) \in \mathbb{C}^n \times \mathbb{C}^n, T = J.S, Q.S = 0\}$$

alors

$$\begin{aligned} \mathcal{T}_R &= \pi_{R/I}(\mathcal{T}_0) \\ &= \{(T + \bar{S}, \bar{T} + S) \in \mathbb{C}^n \times \mathbb{C}^n, \exists (T, S) \in \mathbb{C}^n \times \mathbb{C}^n, T = J.S, Q.S = 0\} \\ &= \{(J.S + \bar{S}, \bar{J}.\bar{S} + S) \in \mathbb{C}^n \times \mathbb{C}^n, \exists S \in \mathbb{C}^n, Q.S = 0\} \end{aligned}$$

et, via la bijection entre  $\mathcal{T}$  et  $\mathcal{T}_R$ ,

$$\mathcal{T} = \{J.S + \bar{S}, \exists S \in \mathbb{C}^n, Q.S = 0\} = (J + C)(\text{Ker}(Q))$$

Les égalités de dimensions précédentes donnent que

$$\dim_{\mathbb{R}} \mathcal{T} = \dim_{\mathbb{R}} \mathcal{T}_R = \dim_{\mathbb{C}} \mathcal{T}_0$$

L'application  $\mathbb{C}$ -linéaire  $\begin{cases} \text{Ker}(Q) & \rightarrow \mathbb{C}^n \times \mathbb{C}^n \\ S & \mapsto (J.S, S) \end{cases}$  est injective, d'image  $\mathcal{T}_0$ ,

on a donc  $\dim_{\mathbb{C}} \mathcal{T}_0 = \dim_{\mathbb{C}} \text{Ker}(Q)$  et finalement

$$\dim_{\mathbb{R}} \mathcal{T} = \dim_{\mathbb{C}} \text{Ker}(Q).$$

#### RÉFÉRENCES

- [FS07] M. Farber and D. Schütz. Homology of planar polygon spaces. *Geom. Dedicata*, 125 :75–92, 2007.
- [KP08] G. Khimshiashvili and G. Panina. Cyclic polygons are critical points of area. *Zap. Nauchn. Sem. S.-Peterburg. Otdel. Mat. Inst. Steklov.*, 360 :238–245, 2008. English transl., *J. Math. Sci. (N.Y.)* 158 (2009), no. 6, 899–903.
- [KS13] G. Khimshiashvili and D. Siersma. Critical configurations of planar multiple penduli. *Journal of Mathematical Sciences*, 195(2) :198–212, November 2013.
- [Leg41] Adrien-Marie Legendre. *Éléments de géométrie*. Firmin Didot frères, 14<sup>e</sup> édition, 1841. <https://books.google.fr/books?id=I-hDGwAACAJ&hl=fr&pg=PA133#v=onepage&q&f=false>.
- [Leg49] Adrien-Marie Legendre. *Éléments de géométrie*. Firmin Didot frères, 15<sup>e</sup> édition, 1849. <http://gallica.bnf.fr/ark:/12148/bpt6k202689z>.
- [L'H89] Simon Antoine Jean L'Huilier. *Polygonométrie ou de la mesure des figures rectilignes et abrégé d'isopérimétrie élémentaire ou de la mutuelle des grandeurs et des limites des figures*. Barde, Manget, 1789. <http://www.mdz-nbn-resolving.de/urn/resolver.pl?urn=urn:nbn:de:bvb:12-bsb10053636-7>.
- [MRR05] F. Miller Maley, David P. Robbins, and Julie Roskies. On the areas of cyclic and semicyclic polygons. *Advances in Applied Mathematics*, 34(4) :669–689, May 2005. arXiv :math/0407300.
- [Pak05] Igor Pak. The area of cyclic polygons : Recent progress on Robbins' conjectures. *Advances in Applied Mathematics*, 34(4) :690–696, May 2005. Special Issue Dedicated to Dr. David P. Robbins, arXiv :math/0408104.
- [PZ11] G. Panina and A. Zhukova. Morse index of a cyclic polygon. *Cent. Eur. J. Math.*, 9(2) :364–377, 2011.
- [Zhu13] A. Zhukova. Morse index of a cyclic polygon ii. *St. Petesburg Math. J.*, 24(3) :461–474, 2013.

*E-mail address*: jcleger75@gmail.com